



UNIVERSIDADE ESTADUAL DO PIAUÍ
CENTRO DE TECNOLOGIA E URBANISMO
BACHARELADO EM CIÊNCIA DA COMPUTAÇÃO

Ada Beatriz de Oliveira Araujo

**Inteligência Artificial na Documentação de Sistemas
Legados: Uma Abordagem Comparativa de
Ferramentas**

TERESINA

2025

Ada Beatriz de Oliveira Araujo

**Inteligência Artificial na Documentação de Sistemas
Legados: Uma Abordagem Comparativa de
Ferramentas**

Monografia de Trabalho de Conclusão de
Curso apresentado na Universidade Esta-
dual do Piauí – UESPI como parte dos re-
quisitos para conclusão do Curso de Bacha-
relado em Ciência da Computação.

Orientador: Prof. Dr. Thiago Carvalho de Sousa

TERESINA

2025

A658i Araújo, Ada Beatriz de Oliveira.

Inteligência artificial na documentação de sistemas legados:
uma abordagem comparativa de ferramentas / Ada Beatriz de
Oliveira Araújo. - 2025.

75 f.: il.

Monografia (graduação) - Universidade Estadual do Piauí -
UESPI, Bacharelado em Ciência da Computação, Campus Poeta Torquato
Neto, Teresina-PI, 2025.

"Orientador: Prof. Dr. Thiago Carvalho de Sousa".

1. Engenharia de Software. 2. Sistemas Legados. 3. Inteligência
Artificial. 4. Documentação de Software. I. Sousa, Thiago Carvalho
de . II. Título.

CDD 006.3

Inteligência Artificial na Documentação de Sistemas Legados: Uma Abordagem Comparativa de Ferramentas

Ada Beatriz de Oliveira Araujo

Monografia de Trabalho de Conclusão de Curso apresentado na Universidade Estadual do Piauí – UESPI como parte dos requisitos para conclusão do Curso de Bacharelado em Ciência da Computação.

Documento assinado digitalmente
 THIAGO CARVALHO DE SOUSA
Data: 09/07/2025 15:02:23-0300
Verifique em <https://validar.iti.gov.br>

Prof. Dr. Thiago Carvalho de Sousa, Dsc.
Orientador

Nota da Banca Examinadora: 8

Banca Examinadora:

Documento assinado digitalmente
 THIAGO CARVALHO DE SOUSA
Data: 09/07/2025 15:05:40-0300
Verifique em <https://validar.iti.gov.br>

Prof. Dr. Thiago Carvalho de Sousa, Dsc.
Presidente

Documento assinado digitalmente

 MAURICIO REGO MOTA DA ROCHA
Data: 09/07/2025 16:56:11-0300
Verifique em <https://validar.iti.gov.br>

Maurício Rêgo da Mota Rocha, Dsc.
Membro

Documento assinado digitalmente

 LILIAM BARROSO LEAL
Data: 10/07/2025 09:29:24-0300
Verifique em <https://validar.iti.gov.br>

Liliam Barroso Leal, Dsc.
Membro

“Ciência da Computação está tão relacionada aos computadores quanto a Astronomia aos telescópios, Biologia aos microscópios, ou Química aos tubos de ensaio. A Ciência não estuda ferramentas. Ela estuda como nós as utilizamos, e o que descobrimos com elas.”

Edsger Dijkstra

AGRADECIMENTOS

Primeiramente, gostaria de agradecer a Deus, pois Ele me proporcionou viver cada momento até aqui, debaixo do Seu sustento.

A minha família, em especial aos meus pais Elisângela e David, meu padrasto Edinardo, minha irmã Lara e minha avó Maria Raimunda, que proporcionou apoio incondicional e sacrifícios incansáveis para que eu pudesse alcançar essa conquista. Sem o amor e apoio de vocês, esta jornada seria impossível.

Ao meu amado marido Micaías, cujo apoio e incentivo foram fundamentais para a conclusão deste trabalho. Obrigada por sempre estar ao meu lado, me encorajando a acreditar em mim mesma. Sou eternamente grata pela sua dedicação e apoio. Este trabalho não seria possível sem você ao meu lado.

Aos meus amigos de curso em especial Arielle, Hanna e Jelson, que foram mais do que colegas, foram companheiros de jornada. Juntos, enfrentamos desafios, celebramos conquistas e criamos memórias que levarei para sempre em meu coração.

Por fim, meu profundo agradecimento ao meu orientador, Dr. Thiago Carvalho de Sousa. Sua sabedoria, orientação e apoio foram fundamentais para concluir este trabalho e para meu crescimento pessoal e acadêmico.

Este trabalho não apenas representa o fim de uma jornada, mas também o início de um novo capítulo em minha vida.

*“Porque dEle, e por Ele, e para Ele, são todas as coisas;
glória, a Ele eternamente. Amém.”*
(Romanos, 11:36).

RESUMO

A documentação de *Software* é uma atividade essencial na engenharia de *Software*, desempenhando um papel crucial na comunicação, manutenção, escalabilidade e na experiência do usuário, sendo um pilar fundamental para o sucesso de qualquer projeto de desenvolvimento de *Software*. No entanto, esta atividade de documentação é muitas vezes subestimada. Sistemas legados desempenham um papel crítico nas operações de muitas empresas, mas frequentemente enfrentam desafios significativos relacionados à manutenção e à documentação. Isso resulta em custos financeiros substanciais para as organizações e demanda tempo para os programadores que trabalham com esses sistemas. A automação advinda da inteligência artificial oferece uma alternativa para lidar com esses desafios, otimizando a documentação de sistemas legados, reduzindo custos e melhorando a eficiência na manutenção desses sistemas. Identificar a ferramenta de inteligência artificial mais eficaz para essa finalidade é essencial para a adoção de estratégias mais precisas e eficientes no contexto profissional, promovendo melhorias na manutenção dos sistemas e prolongando sua vida útil. Neste trabalho foi realizada uma análise comparativa das ferramentas de geração de documentação de código, com foco em sua aplicação em sistemas legados. A comparação foi realizada a partir da inserção de trechos de código-fonte selecionados nas ferramentas, com o objetivo de avaliar a documentação gerada, a partir de critérios de legibilidade, dimensão e adequação de comentários. Os resultados indicaram que a ferramenta *Gemini* apresentou o melhor desempenho na atividade de geração de documentação; no entanto, as demais ferramentas, *ChatGPT*, *DeepSeek*, *Claude*, *Meta AI*, *Le Chat Mistral* e *Grok*, também forneceram resultados relevantes, evidenciando potencial para aprimoramento tanto nas próprias ferramentas quanto no processo de avaliação adotado. A automação da documentação por meio da inteligência artificial não só melhora a compreensão do código, mas também facilita sua manutenção, resultando em maior eficiência e redução de custos para as organizações.

Palavras-chaves: Engenharia de *Software*. Sistemas Legados. Inteligência Artificial. Documentação de *Software*.

ABSTRACT

Software documentation is an essential activity in software engineering, playing a crucial role in communication, maintenance, scalability, and user experience, and serving as a fundamental pillar for the success of any software development project. However, this documentation activity is often underestimated. Legacy systems play a critical role in the operations of many companies but frequently face significant challenges related to maintenance and documentation. This results in substantial financial costs for organizations and demands considerable time from programmers working with these systems. Automation powered by artificial intelligence offers an alternative to address these challenges by optimizing the documentation of legacy systems, reducing costs, and improving maintenance efficiency. Identifying the most effective AI tool for this purpose is essential for the adoption of more precise and efficient strategies in professional contexts, promoting improvements in system maintenance and extending their lifespan. In this study, a comparative analysis was conducted on code documentation generation tools, focusing on their application to legacy systems. The comparison was based on the insertion of selected source code excerpts into the tools, with the objective of evaluating the generated documentation according to criteria such as readability, length, and adequacy of comments. The results indicated that the Gemini tool demonstrated the best performance in the documentation generation task; however, other tools ChatGPT, DeepSeek, Claude, Meta AI, Le Chat Mistral, and Grok also provided relevant results, highlighting the potential for improvements both in the tools themselves and in the evaluation process used. Automating documentation through artificial intelligence not only enhances code comprehension but also facilitates its maintenance, resulting in greater efficiency and cost reduction for organizations.

Key-words: Software Engineering. Legacy Systems. Artificial Intelligence. Software Documentation.

LISTA DE ILUSTRAÇÕES

Figura 1 – Exemplo de Documentação em Código-Fonte	19
Figura 2 – Exemplo de Fluxograma	20
Figura 3 – Exemplo de Documentação para Usuário Final	20
Figura 4 – Áreas Relacionadas à Inteligência Artificial	23
Figura 5 – Fórmula da Legibilidade de <i>Flesch Reading Ease</i>	38
Figura 6 – Gráfico Comparativo de Legibilidade por Linguagem x Modelo	40
Figura 7 – Gráfico Comparativo do Comprimento Médio por Linguagem x Modelo	41
Figura 8 – Gráfico Comparativo de Adequação de Comentários por Linguagem x Modelo	42

LISTA DE TABELAS

Tabela 1 – Resultado da Legibilidade por Linguagem x Modelo	39
Tabela 2 – Resultado do Comprimento Médio por Linguagem x Modelo	41
Tabela 3 – Resultados da Adequação de Comentários por Linguagem x Modelo	42

LISTA DE ABREVIATURAS E SIGLAS

LLMs	<i>Large Language Models</i>
APR	<i>Automatic Program Repair</i>
NMT	<i>Neural Machine Translation</i>
QLoRA	<i>Quantized Low-Rank Adaptation</i>
IA	<i>Inteligência Artificial</i>
API's	<i>Application Programming Interface</i>
Wiki	<i>Web Page</i>
TIOBE	<i>Programming Community Index</i>
IDE	<i>Integrated Development Environment</i>

LISTA DE QUADROS

Quadro 1 – <i>String</i> de Busca dos Trabalhos Relacionados	26
Quadro 2 – Resultados da Busca	27
Quadro 3 – <i>String</i> de Busca das Ferramentas	29
Quadro 4 – Principais <i>chatbots</i> de 2025	30
Quadro 5 – Ferramentas Escolhidas	31
Quadro 6 – Métricas de Qualidade da Documentação	32
Quadro 7 – <i>String</i> de Busca das Linguagens de Programação	33
Quadro 8 – <i>Ranking</i> de Popularidade <i>TIOBE</i> 2025	34
Quadro 9 – Linguagens de Programação Escolhidas	34
Quadro 10 – <i>String</i> de Busca do Código-Fonte Para COBOL	35
Quadro 11 – <i>String</i> de Busca do Código-Fonte Para FORTRAN	35
Quadro 12 – <i>String</i> de Busca do Código-Fonte Para C	35
Quadro 13 – <i>String</i> de Busca do Código-Fonte Para JAVA	35
Quadro 14 – <i>Prompt</i> de Entrada	37

SUMÁRIO

1	INTRODUÇÃO	16
1.1	Justificativa	17
1.2	Objetivos	17
1.2.1	Geral	17
1.2.2	Específico	17
1.3	Metodologia	18
1.4	Organização do Trabalho	18
2	FUNDAMENTAÇÃO TEÓRICA	19
2.1	Documentação de Software	19
2.1.1	Tipos de Documentação	19
2.1.2	Qualidade de Documentação	20
2.2	Sistemas Legados	21
2.3	Inteligência Artificial	22
2.3.1	Modelos de Linguagem de Grande Escala	23
2.3.1.1	Aplicações na Engenharia de Software	23
3	FERRAMENTAS, MÉTRICAS E SISTEMAS LEGADOS	25
3.1	Busca Sistemática	25
3.1.1	Trabalhos Relacionados	25
3.1.1.1	Metodologia	25
3.1.1.2	Processo de Seleção	25
3.1.1.3	Critérios de Seleção	26
3.1.1.3.1	Critérios de Inclusão	26
3.1.1.3.2	Critérios de Exclusão	26
3.1.1.4	Estratégias de Busca	26
3.1.1.5	Resultados da Busca	27
3.1.2	Seleção das Ferramentas	29
3.1.2.1	Critérios de Exclusão	29
3.1.3	Estratégias de Busca	29
3.1.3.1	Resultado da Busca	30
3.2	Métricas de Comparação	31
3.3	Coleta de Código-Fonte	32
3.3.1	Escolha das Linguagens de Programação	33
3.3.1.1	Estratégia de Busca	33

3.3.1.2	Resultado da Busca	33
3.3.2	Escolha da Plataforma <i>GitHub</i>	34
3.3.3	Busca do Código-Fonte das Linguagens Escolhidas	35
4	ANÁLISE DA GERAÇÃO DE CÓDIGO	37
4.1	Definição do <i>Prompt</i> de Entrada	37
4.2	Preparação do Código-Fonte	37
4.3	Aplicação da Métrica na Documentação Gerada	38
4.4	Resultados	38
4.4.1	Análise da Métrica Legibilidade	38
4.4.2	Análise da Métrica Dimensão	40
4.4.3	Análise da Métrica Adequação de Comentários	41
5	CONCLUSÃO	43
	REFERÊNCIAS	45
	ANEXO A – CÓDIGO COBOL	49
	ANEXO B – CÓDIGO FORTRAN	57
	ANEXO C – CÓDIGO C	66
	ANEXO D – CÓDIGO JAVA	71

1 INTRODUÇÃO

A Engenharia de *Software* é a disciplina que abrange todas as fases da criação de *Software*, desde a concepção até a manutenção (Sommerville, 2011). Com a popularização do Manifesto Ágil, que representa a combinação de uma filosofia orientada à satisfação do cliente com um conjunto de princípios de desenvolvimento, a ênfase na entrega em detrimento da análise e do projeto ganhou destaque. Um dos valores fundamentais expressos é a preferência por "Software operacional acima de documentação completa" (Pressman, 2016).

A documentação desempenha um papel fundamental na compreensão e registro de cada componente do código-fonte, seja uma função, classe, trecho ou módulo. Ela representa um conjunto de manuais, abrangendo aspectos gerais e técnicos do *Software*, com flexibilidade para ser organizada de diversas maneiras e aproveitando uma variedade de ferramentas disponíveis (Coelho, 2009). Embora os métodos ágeis questionem a relevância da documentação, dentre todas as melhores práticas na área de engenharia de *Software*, esta assume uma posição particular (Oliveira, 2005).

Sistemas legados são sistemas antigos que ainda estão em uso dentro de uma organização. Geralmente são aplicações complexas, difíceis de manter e de alta importância e frequentemente responsáveis por processos críticos. Entre os principais problemas ligados a esses sistemas estão a falta de documentação, tecnologia obsoleta sem suporte, custos elevados e dificuldades na manutenção (Fritola; Santander, 2022).

O artificial é o que não é natural, feito para imitar a natureza produzido de forma artística ou industrial. Inteligência, embora não tenha uma definição exata, pode-se dizer que está associada ao entendimento, raciocínio e interpretação. Tem-se como Inteligência Artificial a confecção de máquinas com a capacidade de aprender sendo estas programadas previamente (Damaceno; Vasconcelos et al., 2018). Neste sentido, a Inteligência Artificial sistematiza e automatiza tarefas intelectuais e, portanto, é potencialmente relevante para qualquer esfera da atividade intelectual humana (Silva, 2005).

Dentro dessa perspectiva, a questão de manutenção e compreensão de código de sistemas legados, especialmente em contextos onde a documentação original é escassa ou inexistente, este trabalho propõe uma comparação entre ferramentas de Inteligência Artificial voltadas à geração automática de documentação de código-fonte. Busca-se identificar qual ferramenta apresenta melhor desempenho na tarefa de gerar comentários proveitosos, de modo a facilitar o entendimento do código e, consequen-

temente, melhorar a eficiência da manutenção e reduzir os custos associados.

1.1 Justificativa

O avanço da tecnologia traz consigo desafios significativos para as organizações que dependem de sistemas legados. Estes sistemas, embora desempenhem um papel crucial, muitas vezes enfrentam obstáculos como a falta de documentação atualizada e custos elevados de manutenção (Crotty; Horrocks, 2017).

Além disso, devido a restrições de prazos e orçamentos mais limitados, a documentação e o processo de modelagem de *Software* frequentemente são negligenciados, o que pode resultar em consequências que, embora não imediatamente perceptíveis, podem se tornar agravantes a médio e longo prazo (Rocha et al., 2008).

Nesse cenário, a ascensão da inteligência artificial com suas capacidades notáveis, incluindo a automatização de tarefas (Silva, 2005), destaca-se como uma solução para otimizar esses processos.

Assim, surge a importância de investigar o uso de ferramentas de inteligência artificial voltadas à documentação de código-fonte, com um foco em sistemas legados, bem como identificar quais ferramentas apresentam melhores resultados na documentação gerada. Este trabalho busca contribuir para a facilitação da documentação de sistemas legados por meio do uso de inteligência artificial, visando a redução de custos e do tempo necessário para a manutenção desses sistemas.

1.2 Objetivos

1.2.1 Geral

Comparar ferramentas de inteligência artificial que podem ser utilizadas para aprimorar a documentação do código-fonte de sistemas legados.

1.2.2 Específico

- Mapear o estado da arte da pesquisa em geradores de documentação baseados em IA, identificando as tecnologias e tendências predominantes nesse campo.
- Estabelecer critérios claros para a métrica de comparação, permitindo uma avaliação precisa e significativa das ferramentas selecionadas.
- Identificar a melhor ferramenta geradora de documentação de sistemas legados.

1.3 Metodologia

A metodologia seguida para o desenvolvimento desse projeto foi dividido nas seguintes etapas:

Etapa 1 Busca Sistemática e Seleção de Ferramentas: Nesta etapa, foi conduzida uma revisão bibliográfica abrangente para entender as ferramentas utilizadas. Foram identificadas e avaliadas as ferramentas disponíveis que são relevantes.

Etapa 2 Definição de Métricas de Comparação: Nesta etapa, métricas de comparação foram definidas para avaliar as documentações dos códigos-fonte coletados. A justificativa para a escolha de cada métrica foi apresentada.

Etapa 3 Coleta de Código-Fonte de Sistemas Legados no *GitHub*¹: A terceira etapa consistiu na coleta de código-fonte de sistemas legados de código aberto disponíveis no *GitHub*.

Etapa 4 Comparação da Documentação de Códigos: Após a seleção das ferramentas e a coleta dos códigos-fonte, a análise comparativa foi conduzida de acordo com as métricas definidas na Etapa 3.

Etapa 5 Análise e Apresentação de Resultados: Na quinta etapa, os resultados das comparações foram analisados. A verificação dos resultados considerando as métricas definidas, destacou as melhorias identificadas nas documentações dos códigos-fonte analisados.

1.4 Organização do Trabalho

A estrutura deste trabalho está organizada da seguinte forma: o Capítulo 2 trata da fundamentação teórica, abordando conceitos relacionados à documentação de *Software*, sistemas legados e inteligência artificial. No Capítulo 3, são discutidas as ferramentas selecionadas, as métricas adotadas e os sistemas legados analisados, compondo a base metodológica do estudo. O Capítulo 4 descreve o processo de aplicação das ferramentas sobre os códigos-fonte. O Capítulo 5 apresenta os resultados obtidos a partir da análise dos comentários gerados e da aplicação das métricas. Por fim, o Capítulo 6 reúne as conclusões do trabalho, destacando os principais achados e possibilidades para estudos futuros.

¹ Plataforma de hospedagem de código-fonte e arquivos com controle de versão usando o *Software Git*

2 FUNDAMENTAÇÃO TEÓRICA

2.1 Documentação de Software

A documentação de *Software* consiste em um conjunto de manuais gerais e técnicos (Coelho, 2009). Além disso, pode ser definida como um artefato cuja finalidade seja comunicar a informação sobre o sistema de *Software* ao qual ele pertence (Souza et al., 2015).

A documentação e a modelagem de *Software* desempenham um papel central em todas as etapas que conduzem à implementação bem-sucedida de um *Software* de qualidade. Assim como o projeto arquitetônico e de engenharia orienta a construção de um edifício, a chave para o sucesso de um *Software* está profundamente ligada à sua arquitetura, ao processo de desenvolvimento e às ferramentas utilizadas (Booch, 2006).

2.1.1 Tipos de Documentação

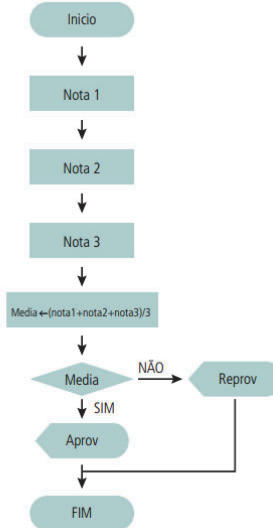
A documentação de *Software* pode ser dividida em dois grandes grupos. A parte técnica é voltada ao desenvolvedor, compreende dicionários e modelos de dados, dicionários de funções, comentários de código (Figura 1) e fluxogramas de processos e regras de negócios (Figura 2). Já a documentação de uso é voltada para o usuário final (Figura 3) e o administrador do sistema, formada por apostilas ou manuais que apresentam como deve ser usado, o que esperar dele e como receber as informações que deseja (Michelazzo, 2008).

Figura 1 – Exemplo de Documentação em Código-Fonte

```
// Verifica se o funcionario tem direito a todos os beneficios
if ((employee.flags & HOURLY_FLAG) &&
(employee.age > 65))
```

Fonte: (Martin, 2019)

Figura 2 – Exemplo de Fluxograma



Fonte: (Batista, 2016)

Figura 3 – Exemplo de Documentação para Usuário Final

A interface do usuário final do Qualitor é mostrada. A barra superior contém o logo "qualitor" e o link "Manual do USUÁRIO FINAL". A barra lateral esquerda tem uma estrutura de navegação com "USUÁRIOS FINAIS - Nova interface", "Acesso e apresentação do portal", "Operações disponíveis para o usuário final" e "Pesquisa de coleta de dados". A barra lateral direita mostra "Meus dados", "Alterar senha", "Alterar idioma" e "Sair". O conteúdo central mostra a interface do portal com uma barra superior de busca, uma barra lateral com "PORTAL" (Serviços, Solicitações, Pendencies) e "FAVORITOS" (388: Reparo emergencial 24h, 1 RECURSOS HUMANOS), e uma seção central com "1 RECURSOS HUMANOS" e uma lista de notificações.

Fonte: (Qualitor, 2016)

2.1.2 Qualidade de Documentação

Qualidade é algo que sentimos e julgamos na vida diária, mas que não conseguimos medir exatamente. Envolve diferentes pontos de vista sobre algo e as características que associamos a esse algo (Wingkvist et al., 2010).

Crosby (1979) define qualidade como "conformidade com os requisitos", implicando que os requisitos devem ser claros e compreensíveis para evitar mal-entendidos.

McCall et al. (1977) propõem um modelo de qualidade que identifica onze fatores relacionados aos estágios de revisão, operação e transição do ciclo de vida do Software. Eles também desenvolvem cerca de 22 métricas para avaliar esses fatores, muitas das quais são ponderadas e aplicadas para determinar a qualidade de cada um.

Essas métricas frequentemente se baseiam em listas de verificação e são avaliadas em uma escala de 0 a 10, refletindo uma medição subjetiva. Esse modelo de qualidade é adotado como padrão na norma ISO/IEC 9126-1:2001.

McConnell (2004) distingue entre qualidade interna e externa, referindo-se à qualidade durante a produção do produto e à qualidade quando o produto está em uso, respectivamente. Esses conceitos também são abordados na norma ISO/IEC 9126. Juran et al. (1999) oferece uma perspectiva adicional sobre qualidade, definindo-a como "aptidão para uso". Essa abordagem leva em consideração as necessidades e expectativas dos clientes em relação ao produto e como eles o utilizam. Juran et al. (1999) também destaca que, como diferentes clientes podem usar o produto de maneiras diversas, é importante que o produto apresente várias características que atendam a esses usos variados.

A documentação de *Software* de alta qualidade desempenha um papel crucial no desenvolvimento, compreensão e manutenção do *Software*. No entanto, devido à sua natureza de linguagem natural informal, que é essencialmente ambígua, imprecisa, desestruturada e complexa tanto em sintaxe quanto em semântica, a avaliação de sua qualidade frequentemente requer métodos manuais. Atualmente, há uma lacuna significativa na disponibilidade de um quadro abrangente e ferramentas para avaliar a qualidade da documentação de *Software* (Treude; Middleton; Atapattu, 2020).

2.2 Sistemas Legados

A definição de Sistemas legados abrange sistemas de informações mais抗igos que continuam a operar em uma organização. São caracterizados por sua resistência à modificação, importância crítica para os negócios e potencial impacto negativo em caso de falha. Além disso, sistemas legados podem ser baseados em tecnologias desatualizadas e dados obsoletos, porém, ainda desempenham um papel fundamental nas operações cotidianas. Em especial, nos setores financeiros, os gastos com a manutenção desses sistemas representam uma parcela significativa dos investimentos em Tecnologia da Informação (Crotty; Horrocks, 2017). Em suma, esses sistemas possuem valor para a organização e ainda resistem às modificações e à evolução, principalmente por causa de uma documentação falha (Espindola; Majdenbaum; Audy, 2004).

A manutenção é uma das atividades mais duradouras no ciclo de vida de um *Software*, e isto se deve à observação das leis de evolução. Entre essas leis, destacam-se: a) A mudança contínua: os sistemas devem ser adaptados senão eles se tornarão insatisfatórios; b) O aumento da complexidade: conforme o sistema evolui, a sua complexidade aumenta; c) O crescimento contínuo: o conteúdo funcional deve crescer para

manter a satisfação do cliente. Já no contexto de sistemas legados, alguns fatores como: a) A dificuldade de entender o programa de “outra pessoa”; b) A má documentação e algoritmos mal escritos; c) Documentação inexistente ou não comprehensível e consistente com o código fonte, encarecem e dificultam a manutenção do *Software* (Ramos; Oliveira; Anquetil, 2004).

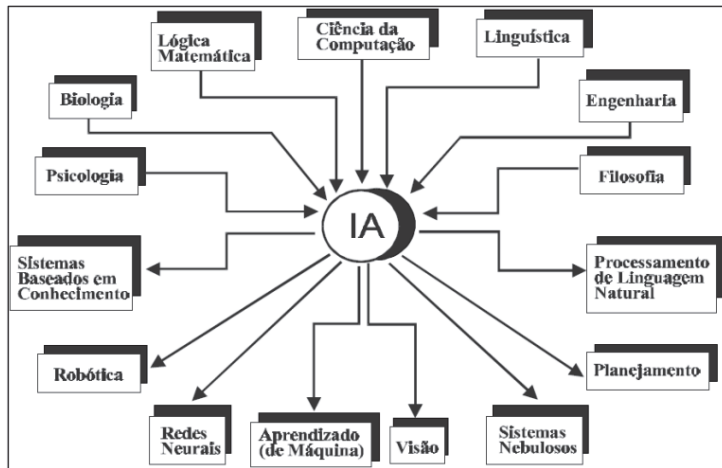
2.3 Inteligência Artificial

A inteligência artificial surgiu após a Segunda Guerra Mundial e assim representa uma ciência recente. Compreende uma ampla série de subcampos, abrangendo desde aplicações de uso geral, como aprendizado de máquina e percepção, até tarefas específicas, como jogos de xadrez. A inteligência artificial tem como objetivo a sistematização e automação de tarefas intelectuais e seu potencial impacto abrange todas as esferas da atividade intelectual humana, tornando-a um campo de estudo de alcance universal (Russel; Norvig, 2004).

Embora seja difícil defini-la, ao longo do tempo, a inteligência artificial seguiu quatro linhas de pensamentos: I. Sistemas que pensam como seres humanos: “O novo e interessante esforço para fazer os computadores pensarem... máquinas com mentes, no sentido total e literal” (Haugeland, 1989); II. Sistemas que atuam como seres humanos: “A arte de criar máquinas que executam funções que exigem inteligência quando executadas por pessoas” (Kurzweil et al., 1990); III. Sistemas que pensam racionalmente: “O estudo das faculdades mentais pelo seu uso de modelos computacionais” (Charniak, 1985); IV. Sistemas que atuam racionalmente: “A Inteligência Computacional é o estudo do projeto de agentes inteligentes” (Poole; Mackworth; Goebel, 1998).

Em termos gerais, as linhas de pensamento I e III estão relacionadas ao processo de pensamento e raciocínio, enquanto as II e IV se concentram no comportamento. Além disso, as abordagens I e II avaliam o sucesso com base na capacidade de se assemelhar ao desempenho humano, enquanto as abordagens III e IV medem o sucesso comparando-o a um conceito ideal de inteligência, conhecido como racionalidade. Um sistema racional é aquele que realiza suas ações corretamente dadas as informações disponíveis (Russel; Norvig, 2004). À medida que a inteligência artificial avançou e demonstrou sua capacidade de automatizar tanto tarefas simples quanto complexas, um vasto conjunto de aplicações surgiu (Figura 4).

Figura 4 – Áreas Relacionadas à Inteligência Artificial



Fonte: (Monard; Baranauskas, 2000)

2.3.1 Modelos de Linguagem de Grande Escala

Modelos de grande linguagem (LLMs) são modelos de inteligência artificial geralmente baseados na arquitetura *Transformer*, projetados para compreender e gerar linguagem humana, códigos, entre outros. Esses modelos são treinados com grandes volumes de dados textuais, o que lhes permite capturar complexidades e nuances da linguagem natural. Os LLMs são capazes de realizar uma ampla variedade de tarefas, desde a classificação de textos até a geração de conteúdo, com elevado grau de precisão, fluência e adequação estilística (Ozdemir, 2023).

2.3.1.1 Aplicações na Engenharia de Software

Zhang et al. (2023) apresenta uma revisão abrangente sobre os avanços recentes da comunidade de engenharia de Software baseados em LLMs, organizando-os em cinco fases fundamentais do ciclo de vida da engenharia de Software: requisitos e design, desenvolvimento, testes, manutenção e gerenciamento.

Na fase de requisitos e design, Xie et al. (2023) realizaram o primeiro estudo empírico avaliando a capacidade dos LLMs em gerar especificações de Software a partir de comentários e documentação, utilizando técnicas de *few-shot learning* e estratégias variadas de construção rápida. O estudo também realizou uma comparação entre falhas dos LLMs e métodos tradicionais, identificando forças e limitações de cada abordagem.

No desenvolvimento de Software, a pesquisa de Wang et al. (2023) buscou identificar erros semânticos em códigos traduzidos por modelos como Codex e ChatGPT.

Na área de testes, Zhu et al. (2021) propuseram o TroBo, uma técnica de locali-

zação de *bugs* entre projetos baseada no modelo CodeBERT, que utiliza relatórios de erro e código-fonte como entrada.

Já em relação à manutenção, Jiang et al. (2021) propuseram o CURE, uma abordagem de reparo automático de programas (APR) baseada em NMT, com suporte do modelo GPT. O CURE realiza pré-treinamento e ajuste fino em grandes conjuntos de métodos Java, aplica tokenização de subpalavras e uma estratégia avançada de busca de feixe, combinando-se ao CoCoNuT para formar um *pipeline* de geração de *patches* mais eficiente.

Por fim, no contexto de gerenciamento de *Software*, Alhamed et al. (2022) exploraram o uso do modelo BERT com recursos especializados para estimar o esforço necessário em tarefas de manutenção.

3 FERRAMENTAS, MÉTRICAS E SISTEMAS LEGADOS

Este capítulo apresenta explanações relacionadas à busca sistemática de trabalhos relacionados e ferramentas, definição de métricas e coleta de código-fonte de sistemas legados utilizados para o desenvolvimento deste trabalho, descrevendo os procedimentos adotados nestas três etapas da metodologia de pesquisa.

3.1 Busca Sistemática

A busca sistemática é uma etapa fundamental da revisão sistemática, cujo objetivo é identificar e incluir, de forma rigorosa e reproduzível, os estudos relevantes sobre uma determinada questão de pesquisa (Pereira; Galvão, 2014). Dessa forma, buscou-se identificar trabalhos relacionados ao presente estudo, além de analisar e selecionar as ferramentas existentes e relevantes para o seu desenvolvimento.

3.1.1 Trabalhos Relacionados

Neste tópico, são apresentados os principais trabalhos que se relacionam com o tema deste estudo.

3.1.1.1 Metodologia

Neste trabalho foi conduzida uma busca sistemática para identificar os estudos fundamentais sobre as ferramentas de Inteligência Artificial na documentação de código-fonte. Inicialmente, foram identificados 94 resultados no *Google Acadêmico*. Posteriormente, utilizando critérios de seleção e exclusão, foram obtidos 79 estudos. Em seguida, com a leitura dos resumos, foram obtidos 7 estudos. Os acessos foram realizados nos meses fevereiro e março de 2025.

3.1.1.2 Processo de Seleção

1. Título
2. Resumo
3. Leitura Completa

3.1.1.3 Critérios de Seleção

Neste ponto, foram definidos critérios de seleção com o objetivo de filtrar os estudos mais relevantes para a proposta deste trabalho. Foram considerados critérios de inclusão e exclusão.

3.1.1.3.1 Critérios de Inclusão

Foram adotados os seguintes critérios de inclusão:

1. Artigos
2. Trabalhos em Inglês
3. Trabalhos publicados no período de 2020-2025

3.1.1.3.2 Critérios de Exclusão

Foram adotados os seguintes critérios de exclusão:

1. Publicações anteriores aos últimos cinco anos
2. Idioma diferente
3. Trabalhos duplicados
4. Acesso Restrito

3.1.1.4 Estratégias de Busca

A estratégia de busca adotada nesta pesquisa consistiu na elaboração de uma *string* com palavras-chave relacionadas ao tema da pesquisa. Essa *string*, apresentada no Quadro 1, foi aplicada no Google Acadêmico com o objetivo de recuperar estudos potencialmente significativos.

Quadro 1: *String* de Busca dos Trabalhos Relacionados

<i>"automatic code documentation generation" AND software engineering AND (Natural language processing OR LLM)</i>
--

Fonte: (Próprio Autor, 2025)

3.1.1.5 Resultados da Busca

Concluído o processo de aplicação da estratégia de busca e dos critérios de seleção, foram identificados os trabalhos mais importantes para esta pesquisa. O processo resultou em um conjunto de estudos que abordam diferentes perspectivas sobre o tema investigado. Os principais trabalhos selecionados estão organizados no Quadro 2.

Quadro 2: Resultados da Busca

Título	Autor	Ano
<i>Prompt Engineering or Fine-Tuning: An Empirical Assessment of LLMs for Code</i>	Jiho Shin, Clark Tang, Tahmineh Mohati, Maleknaz Nayebi, Song Wang, Hadi Hemmati	2025
<i>Can Large Language Models Serve as Evaluators for Code Summarization?</i>	Yang Wu, Yao Wan, Zhaoyang Chu, Wenting Zhao, Ye Liu, Hongyu Zhang, Xuanhua Shi	2024
<i>Prompting and Fine-tuning Large Language Models for Automated Code Review Comment Generation</i>	Md. Asif Haider, Ayesha Binte Mostofa, Sk. Sabit Bin Mosaddek, Anindya Iqbal, Toufique Ahmed	2024
<i>COMCAT: Leveraging Human Judgment to Improve Automatic Documentation and Summarization</i>	Skyler Grandel, Scott Thomas Andersen, Yu Huang, and Kevin Leac	2024
<i>Leveraging LLMs for Legacy Code Modernization: Challenges and Opportunities for LLM-Generated Documentation</i>	Colin Diggs, Michael Doyle, Amit Madan, Siggy Scott, Emily Escamilla, Jacob Zimmer, Naveed Nekoo, Paul Ursino, Michael Bartholf, Zachary Robin, Anand Patel, Chris Glasz, William Macke, Paul Kirk, Jasper Phillips, Arun Sridharan, Doug Wendt, Scott Rosen, Nitin Naik, Justin F. Brunelle, Samruddhi Thaker	2024
<i>LLMofBabel: An analysis of the behavior of large language models when performing Java code summarization in Dutch</i>	Gopal-Raj G. S. Panch	2024
<i>MMultilingual Code Co-evolution using Large Language Models</i>	Jiayang Zhang, Pengyu Nie, Junyi Jessy Li, Milos Gligoric	2023

Fonte: (Próprio Autor, 2025)

Diferente do artigo *Prompt Engineering or Fine-Tuning: An Empirical Assessment of LLMs for Code*, que avalia o desempenho do GPT-4 e de modelos ajustados em tarefas como sumarização, geração e tradução de código, a presente pesquisa ressalta a geração automática de comentários para trechos de código-fonte legado em diferentes linguagens de programação. Em vez de comparar estratégias de engenharia de prompt ou *fine-tuning*, este trabalho compara ferramentas de geração de texto quanto à qualidade dos comentários produzidos.

Enquanto o artigo *Can Large Language Models Serve as Evaluators for Code Summarization?* investiga o uso de LLMs como avaliadores da qualidade de resumos de código por meio do método CODERPE, o presente trabalho tem como objetivo a comparação entre diferentes ferramentas de geração automática de comentários em código-fonte legados de várias linguagens de programação. O artigo analisa a atuação dos LLMs em papéis como revisor e analista, avaliando critérios como coerência e relevância. Já este trabalho avalia diretamente os comentários gerados por ferramentas.

Enquanto o artigo *Prompting and Fine-tuning Large Language Models for Automated Code Review Comment Generation* busca melhorar a geração de comentários por meio do fine-tuning de um LLM com QLoRA, focando na automação da revisão de código, o presente trabalho tem uma abordagem comparativa: avalia comentários gerados por diferentes ferramentas de geração de texto aplicadas a código-fonte legado em várias linguagens sem ajustar modelos, mas analisando a qualidade das saídas produzidas.

Este trabalho difere do artigo *COMCAT: Leveraging Human Judgment to Improve Automatic Documentation and Summarization* por adotar uma visão de comparação entre ferramentas de geração automática de comentários aplicadas a código-fonte legados em diversas linguagens, enquanto o artigo propõe uma única abordagem voltada para C/C++, com comentários gerados com base em contexto guiado por especialistas. Além disso, o presente trabalho avalia a qualidade dos comentários gerados, enquanto o artigo desenvolve um pipeline específico para identificar onde e que tipo de comentário inserir.

Esta pesquisa e o artigo *Leveraging LLMs for Legacy Code Modernization* investigam o uso de LLMs para gerar comentários em código legado, mas sob perspectivas distintas. Enquanto o artigo propõe uma abordagem linha a linha com uma rubrica própria de avaliação e analisa correlações com métricas automatizadas, o presente trabalho compara diferentes ferramentas de geração de texto aplicadas a códigos legados em várias linguagens, avaliando a qualidade dos comentários gerados de forma comparativa.

Diferente do artigo *LLMofBabel: An analysis of the behavior of large language models when performing Java code summarization in Dutch*, que analisa os erros de

um único modelo (CodeQwen 1.5-7) ao gerar comentários em holandês para código Java. O presente trabalho compara diferentes ferramentas de geração de texto aplicadas a trechos de código legado em várias linguagens de programação. Enquanto o artigo aborda a categorização de erros linguísticos e semânticos em um idioma específico, este trabalho avalia a qualidade dos comentários gerados por diferentes ferramentas.

O artigo *Multilingual Code Co-evolution using Large Language Models* propõe o uso de LLMs para traduzir alterações de código entre diferentes linguagens, mantendo múltiplas versões de um software sincronizadas. Este trabalho utiliza LLMs para gerar e comparar comentários automáticos em códigos legados de diferentes linguagens de programação, com foco na documentação e compreensão do código-fonte de sistemas legados. Ambos exploram LLMs em contextos multilíngues, mas com objetivos distintos: tradução funcional no artigo e documentação automática no referido trabalho.

3.1.2 Seleção das Ferramentas

Nesta etapa, foi realizado o processo de seleção das ferramentas com o objetivo de escolher aquelas que eram relevantes para o momento da pesquisa. Para isto, foram aplicados critérios de exclusão.

3.1.2.1 Critérios de Exclusão

Foram adotados os seguintes critérios de exclusão:

1. Ferramenta paga.
2. Ferramenta que não gera texto.

3.1.3 Estratégias de Busca

A estratégia de busca adotada para este estudo envolveu a elaboração de uma *string* composta por palavras-chave relacionadas aos exemplos das ferramentas mais utilizadas. Essa *string*, apresentada no Quadro 3, foi aplicada na barra de pesquisa do Google para a recuperação de resultados relevantes.

Quadro 3: *String* de Busca das Ferramentas

“ <i>Best AI chatbot tools</i> OR “ <i>example AI chatbot tools</i> ” OR “ <i>popular chatbot tools</i> ” OR “ <i>most used AI chatbots</i> ””
--

Fonte: (Próprio Autor, 2025)

3.1.3.1 Resultado da Busca

A aplicação da *string* de busca no mecanismo de pesquisa *Google* (acessado em 6 de abril de 2025) resultou na exibição da página principal do site *Zapier*, que apresenta uma lista atualizada dos principais *chatbots* de inteligência artificial do ano de 2025, posicionando-se logo após os resultados gerados por IA e anúncios patrocinados. A relação das principais ferramentas identificadas encontra-se no Quadro 4.

Com base na lista obtida apresentada no Quadro 4, a seleção das ferramentas selecionadas, organizadas no Quadro 5, foi realizada considerando a distinção entre os modelos utilizados pelas ferramentas, conforme descrito no próprio site consultado.

Quadro 4: Principais *chatbots* de 2025

Nome Ferramenta	Modelo
<i>ChatGPT</i>	<i>OpenAI GPT models, o1 and o3 models, and DALL-E 3</i>
<i>DeepSeek</i>	<i>DeepSeek V3 and R1</i>
<i>Claude</i>	<i>Claude Haiku, Sonnet, and Opus series</i>
<i>Meta AI</i>	<i>Llama series</i>
<i>Google Gemini</i>	<i>Gemini and Imagen series</i>
<i>Microsoft Copilot</i>	<i>OpenAI's models</i>
<i>Zapier Agents</i>	<i>OpenAI's models</i>
<i>Poe</i>	<i>Includes OpenAI's models, StableDiffusionXL, Claude, Gemini, Llama, Mistral, and more</i>
<i>Perplexity</i>	<i>OpenAI, Claude, and DeepSeek models</i>
<i>Le Chat Mistral</i>	<i>Mistral model series</i>
<i>Zapier Chatbots</i>	<i>OpenAI's models</i>
<i>HuggingChat</i>	<i>Lots of open models</i>
<i>Grok</i>	<i>Grok series</i>
<i>Pi</i>	<i>Inflection-2.5</i>
<i>you.com</i>	<i>OpenAI models, Claude, Llama, DBRX, and others</i>
<i>Personal AI</i>	<i>Proprietary GGT-P, OpenAI's models, Claude</i>
<i>Merlin AI</i>	<i>OpenAI models, Claude, Gemini, Mistral</i>
<i>ZenoChat</i>	<i>Sophos 2, OpenAI's models, Claude, Llama</i>
<i>Khan Academy's Khanmigo</i>	<i>Proprietary</i>

Fonte: Rebelo (2025)

Quadro 5: Ferramentas Escolhidas

Nome Ferramenta	Versão Disponível na Data do Trabalho
<i>ChatGPT</i>	<i>GPT-4o mini</i>
<i>DeepSeek</i>	<i>DeepSeek-V3</i>
<i>Claude</i>	<i>Claude Sonnet 4</i>
<i>Meta AI</i>	<i>Llama-4</i>
<i>Google Gemini</i>	<i>2.5 flash</i>
<i>Le Chat Mistral</i>	<i>Pixtral Large</i>
<i>Grok</i>	<i>Grok 3</i>

Fonte: (Próprio Autor, 2025)

3.2 Métricas de Comparação

Arthur e Stevens (1989) identificaram quatro indicadores essenciais de Qualidade de Documento (IQD) para uma documentação adequada: Precisão, Completude, Usabilidade e Expansibilidade.

Plosch et al. (2014) e Wingkvist et al. (2010) propuseram os seguintes atributos adicionais de qualidade da documentação: Precisão, Clareza, Consistência, Legibilidade, Estruturação e Compreensibilidade.

As métricas propostas por Aversano et al. (2017) destacam-se por sua abrangência e objetividade. Elas contemplam diferentes tipos de documentação, como documentos técnicos, APIs, páginas Wiki e comentários no código-fonte, permitindo uma análise mais completa da qualidade documental de um sistema. Além disso, são definidas de forma clara e mensurável, com fórmulas e critérios bem estabelecidos, o que possibilita uma avaliação sistemática e reduz a subjetividade no processo de análise. Por essas razões, adotou-se utilizar neste trabalho as métricas citadas como base para sua análise, visando garantir uma abordagem sólida, comparável e fundamentada.

O Quadro 6 apresenta métricas para indicadores de qualidade. Entre elas, destaca-se a Q3 - Legibilidade, que verifica se as sentenças expressam conceitos de maneira clara e compreensível. A métrica Q4 - Dimensão avalia se as sentenças são excessivamente longas ou curtas, o que pode comprometer a clareza ou a completude da informação. Por fim, a métrica de Q9 - Adequação dos Comentários analisa a densidade de comentários presentes no código-fonte. Uma alta densidade tende a favorecer a compreensão por parte dos desenvolvedores, facilitando a manutenção e evolução do sistema. As métricas escolhidas para este estudo foram analisadas quanto à sua compatibilidade com a documentação do tipo comentários, que é o foco deste trabalho.

Quadro 6: Métricas de Qualidade da Documentação

QUESTION		METRIC			
Id	Name	Id	Formulas	Values metrics	Acceptance Threshold
Q1	What is the completeness level of documentation with reference to the source code?	M1.1	$Completeness = \frac{\text{Total classes and Packages described in } I}{\text{Total Classes and Packages in source Code}}$ With $I \in \{\text{API, Wiki, Comments, Documentation}\}$	[0..1]	0.6
Q2	Is the available documentation updated with the considered release?	M2.1	Updating, with $I \in \{\text{API, Wiki, Comments, Documentation}\}$	{yes, not}	Yes
Q3	What is the level of readability of the documentation?	M3.1	$FleschReadabilityIndex$, with $I \in \{\text{API, Wiki, Comments, Documentation}\}$	[0..100]	50.0
Q4	What is the medium sentences dimension?	M4.1	$MediumSentenceLength$, with $I \in \{\text{API, Wiki, Comments, Documentation}\}$	Natural number	[15..20]
Q5	If present, the Figures and the Tables are appropriately indexed? Have they a Legend?	M5.1.E	$Number_{D,E}$, with $E \in \{\text{Figure, Table}\}$	Natural number	
		M5.2.E	$Indexing_{D,E} = \frac{\# \text{indexed figures}}{\text{total figures}}$, with $E \in \{\text{Figure, Table}\}$	[0..1]	0.6
		M5.3.E	$Legend_{D,E} = \frac{\text{NumberCaptions}_{I,E}}{\text{Total}_{I,E}}$, with $E \in \{\text{Figure, Table}\}$	[0..1]	0.6
Q6	Is the documentation organized in accordance to the standards?	M6.1	$Consistency_{StD} = \frac{\# \text{documents}}{\# \text{documents of standards}}$	[0..1]	0.6
Q7	Is the documentation well structured?	M7.1	$DocumentSize_D = \text{Number pages of } Doc_1$	Natural number	
		M7.2	$AverageSize_{CPD} = \frac{\# \text{chapters}}{\# \text{pages}}$	[0..1]	0.6
		M7.3	$ChapterTreeDepth_D$	Natural number	3
		M7.4.E	$Density_{D,E} = \frac{\text{Number}_{D,E}}{\text{TotalPages}_{D,E}}$, with $E \in \{\text{Figure, Table}\}$	[0..1]	0.6
Q8	Is the documentation easy to use?	M8.1	$InfoFragmentation_w = \frac{\text{NumberInfo}_w}{\text{NumberPages}_w}$	[0..1]	0.6
		M8.2	$JavaDocDensity = \frac{\# \text{classes}}{\text{JavaDoc MB}}$	{0..1}	0.8
		M8.3	$WikiSize = \# \text{Wiki pages}$	Natural number	
		M8.4	$WikiPagesTreeDept$	Natural number	
Q9	Is the code appropriately commented?	M9.1	$CommentDensity = \frac{\# \text{CommentLines}}{\text{Lines of Code}}$	[0..1]	0.15

Fonte: (Aversano; Guardabascio; Tortorella, 2017)

3.3 Coleta de Código-Fonte

Nesta etapa, foi realizada a coleta de trechos de código-fonte. Essa coleta serviu para embasar a escolha das linguagens de programação a serem utilizadas no

trabalho, para a aplicação e comparação de ferramentas de geração automática de documentação, conforme os objetivos propostos.

3.3.1 Escolha das Linguagens de Programação

Durante esta fase, foram definidas as linguagens de programação mais adequadas para o desenvolvimento deste trabalho, considerando a relevância para sistemas legados.

3.3.1.1 Estratégia de Busca

A estratégia de busca adotada neste estudo consistiu na elaboração de uma *string*, exposta no Quadro 7, com o objetivo de identificar as linguagens de programação mais populares. Essa *string* foi utilizada na barra de pesquisa do *Google* para recuperar resultados significativos.

Quadro 7: *String* de Busca das Linguagens de Programação

"most popular programming languages"

Fonte: (Próprio Autor, 2025)

3.3.1.2 Resultado da Busca

A aplicação da *string* de busca no *Google* (acessado em 10 de maio de 2025) resultou no acesso à página principal do site *TIOBE*, exibida logo após os resultados gerados por inteligência artificial e os anúncios patrocinados. Nessa página, encontra-se disponível o *ranking* de popularidade das linguagens de programação referente ao ano de 2025, apresentado no Quadro 8.

A escolha das linguagens para este trabalho, exibida no Quadro 9, se baseia no fato de que todas são consideradas linguagens de software legado. Segundo Sneed (2006), à medida que as mudanças nas tecnologias de software ocorrem com maior rapidez, cresce também a proporção de software considerado legado. Agora, essa expressão não se limita mais às linguagens das décadas de 1970, como Fortran, COBOL, PLI e C, mas inclui também linguagens de Quarta Geração dos anos 1980 e linguagens orientadas a objetos da década de 1990. Inclusive, os primeiros programas desenvolvidos em Java são considerados como legados.

Quadro 8: *Ranking de Popularidade TIOBE 2025*

Posição	Linguagem
1	<i>Python</i>
2	<i>C++</i>
3	<i>C</i>
4	<i>Java</i>
5	<i>C#</i>
6	<i>JavaScript</i>
7	<i>Go</i>
8	<i>Visual Basic</i>
9	<i>Delphi/Object Pascal</i>
10	<i>SQL</i>
11	<i>Fortran</i>
12	<i>R</i>
13	<i>Ada</i>
14	<i>Scratch</i>
15	<i>PHP</i>
16	<i>Perl</i>
17	<i>MATLAB</i>
18	<i>Assembly Language</i>
19	<i>Rust</i>
20	<i>COBOL</i>

Fonte: Jansen (2025)

Quadro 9: Linguagens de Programação Escolhidas

<i>COBOL</i>
<i>Fortran</i>
<i>C</i>
<i>Java</i>

Fonte: (Próprio Autor, 2025)

3.3.2 Escolha da Plataforma *GitHub*

O *GitHub* foi escolhido como fonte de dados para este trabalho por ser uma plataforma de projetos de código aberto ampla e popular, que hospeda diversos projetos de código aberto em diferentes domínios. (Han et al., 2019). A plataforma se torna ainda mais popular, não apenas como um serviço de hospedagem de projetos de software, mas também como alvo de pesquisas em engenharia de software. (Hu et al., 2016)

3.3.3 Busca do Código-Fonte das Linguagens Escolhidas

Para a seleção dos repositórios, foram realizadas buscas individuais para cada linguagem de programação na plataforma *GitHub*. As *strings* de busca seguiram o padrão *language:<Nome Linguagem> stars:>N*, onde "N" representa o número mínimo de estrelas, utilizado como critério para filtrar projetos com maior relevância. As expressões de busca específicas para cada linguagem estão detalhadas nos Quadros 10, 11, 12 e 13.

Quadro 10: *String* de Busca do Código-Fonte Para COBOL

`language:COBOL stars:>10`

Fonte: (Próprio Autor, 2025)

Quadro 11: *String* de Busca do Código-Fonte Para FORTRAN

`language:FORTRAN stars:>100`

Fonte: (Próprio Autor, 2025)

Quadro 12: *String* de Busca do Código-Fonte Para C

`language:C stars:>100`

Fonte: (Próprio Autor, 2025)

Quadro 13: *String* de Busca do Código-Fonte Para JAVA

`language:JAVA stars:>100`

Fonte: (Próprio Autor, 2025)

Além disso, os repositórios foram ordenados pela data de atualização mais antiga, limitando-se a publicações anteriores ao ano de 2015. A exceção no caso de *COBOL* se deve à escassez de repositórios com mais de 100 estrelas nas condições estabelecidas. Por esse motivo, foi necessário reduzir o limite para 10 estrelas para garantir a obtenção de resultados.

O repositório *COBOL* escolhido contém programas didáticos escritos em *COBOL* por estudantes, entre 2003 e 2004. Ele reúne exemplos clássicos usados no ensino da linguagem *COBOL*, focando em lógica de programação e manipulação de arquivos (Eric, 2015). O código-fonte utilizado neste experimento pode ser consultado no Anexo A.

O repositório *Fortran* escolhido disponibiliza o código-fonte do *NASTRAN-93*, uma versão do *software* de análise estrutural por elementos finitos desenvolvido pela

NASA. Escrito principalmente em *Fortran*, o sistema é usado para simulações estruturais complexas em engenharia aeroespacial (Nasa, 2015). Para mais detalhes, o código-fonte utilizado encontra-se no Anexo B.

O repositório C escolhido contém o código-fonte do *Unix Versão 6*, lançado em 1975 pelos laboratórios *Bell*. O material é uma reprodução do sistema operacional que influenciou significativamente o desenvolvimento de *kernel*s modernos (Krishnamurthy, 2009). O Anexo C apresenta o código-fonte empregado neste procedimento.

O repositório *Java* escolhido abriga o *plugin* *nbgit*, criado para integrar o sistema de controle de versão *Git* ao *NetBeans*, utilizando a biblioteca *JGit*. Foi desenvolvido antes do suporte oficial ao *Git* no IDE, oferecendo funcionalidades como *commit*, *log* e *diff* diretamente no ambiente (Brandon, 2010). O código-fonte usado está incluído no Anexo D.

Estes foram os repositórios selecionados. A escolha do código-fonte considerou as limitações de tamanho dos *prompts* aceitos pelas ferramentas utilizadas, o que dificultou a análise de projetos muito extensos. Por esse motivo, optou-se por selecionar apenas um projeto por linguagem, de forma a garantir uma análise viável dentro das restrições.

4 ANÁLISE DA GERAÇÃO DE CÓDIGO

Neste capítulo, descreve-se todo o processo de geração de documentação utilizando as ferramentas selecionadas, aplicado ao arquivo de código-fonte escolhido para a análise.

4.1 Definição do *Prompt* de Entrada

Para a definição do *prompt*, optou-se por utilizar a formulação do Quadro 14.

Quadro 14: *Prompt* de Entrada

"Documente em português brasileiro todo o código-fonte abaixo, adicionando comentários no próprio código-fonte."

Fonte: (Próprio Autor, 2025)

Essa escolha tende a garantir que a documentação gerada seja da forma planejada e esteja de acordo com o idioma desejado para a saída.

4.2 Preparação do Código-Fonte

A partir do código-fonte selecionado, foi essencial remover todos os comentários previamente existentes, a fim de evitar qualquer interferência nos resultados. Além disso, os espaços em branco entre as linhas também foram eliminados, com o objetivo de garantir que todo o conteúdo pudesse ser inserido no *prompt* de entrada da ferramenta.

A inserção do código na ferramenta foi realizada por meio do recurso de copiar e colar, em razão das limitações das ferramentas utilizadas quanto à forma de envio de dados para o *prompt*. O script contendo o resultado completo de cada ferramenta se encontra em repositório do *GitHub*¹.

¹ <https://github.com/adabeatriz/resultadoTCC>

4.3 Aplicação da Métrica na Documentação Gerada

Todas as três métricas escolhidas foram aplicadas aos comentários gerados pelas ferramentas expostas no Quadro 5. Foram selecionados apenas comentários que possuíam texto. A análise considerou a versão mais recente disponível, no momento do estudo, de cada uma das ferramentas. A comparação das ferramentas foi realizada com base nas métricas de Legibilidade, Dimensão e Adequação dos Comentários, conforme detalhado a seguir.

A métrica Q3, correspondente ao teste de legibilidade *Flesch Reading Ease*, foi utilizada para mensurar o grau de legibilidade dos comentários presentes no código. Para isso, foi adotada a fórmula adaptada para a língua portuguesa (Figura 5).

Figura 5 – Fórmula da Legibilidade de *Flesch Reading Ease*

$$226 - 1,04 \times \left(\frac{\text{Qnt. de palavras}}{\text{Qnt. de frases}} \right) - 72 \times \left(\frac{\text{Qnt. de sílabas}}{\text{Qnt. de palavras}} \right)$$

Fonte: (Souza Gleice C. de L. Moreno, 2021)

A métrica Q4, referente ao tamanho médio das sentenças, foi obtida por meio da divisão do número total de palavras pelo número total de sentenças nos trechos de comentários extraídos do código, baseada nas orientações de Moreno (2021).

Por fim, a métrica Q9, que avalia a adequação de comentários no código, foi calculada a partir da razão entre o número de linhas de comentários e o número total de linhas de código.

4.4 Resultados

Nesse tópico, descreve-se a análise dos resultados obtidos a partir das métricas.

4.4.1 Análise da Métrica Legibilidade

A métrica de legibilidade Q3, avalia o quanto compreensível é o comentário gerado, atribuindo uma pontuação entre 0 e 100. Valores iguais ou superiores a 50 são considerados adequados, indicando maior facilidade de leitura, enquanto pontuações abaixo desse limite sugerem maior dificuldade de interpretação.

Dentre as ferramentas avaliadas, a *Gemini* apresentou o melhor desempenho geral, sendo a única a atingir pontuações superiores a 50 em todas as linguagens

analisadas: *COBOL*, *FORTRAN*, C e JAVA. O destaque foi o resultado em *FORTRAN*, no qual a ferramenta obteve 78,2 pontos, a maior pontuação entre todos os modelos avaliados.

Na linguagem *COBOL*, todas as ferramentas, com exceção de *Claude*, que alcançou 48,1 pontos, superaram o limite mínimo. A *Gemini* obteve 65,0 pontos, enquanto a *GPT* atingiu 62,5, ambos considerados bons resultados.

Para a linguagem C, os valores foram, em geral, mais baixos. Apenas *Le Chat Mistral* com pontuação de 53,8 e *Claude* com valor de 52,7 superaram o valor mínimo, enquanto *Meta* ficou ligeiramente abaixo, com 48,8 pontos.

Na linguagem JAVA, apenas *Meta* com pontuação de 53,5 e *Gemini* obtendo um valor de 52,1 superaram a pontuação de referência. Dessa forma, evidencia-se que a ferramenta *Gemini* manteve uma consistência elevada na legibilidade em todas as linguagens avaliadas.

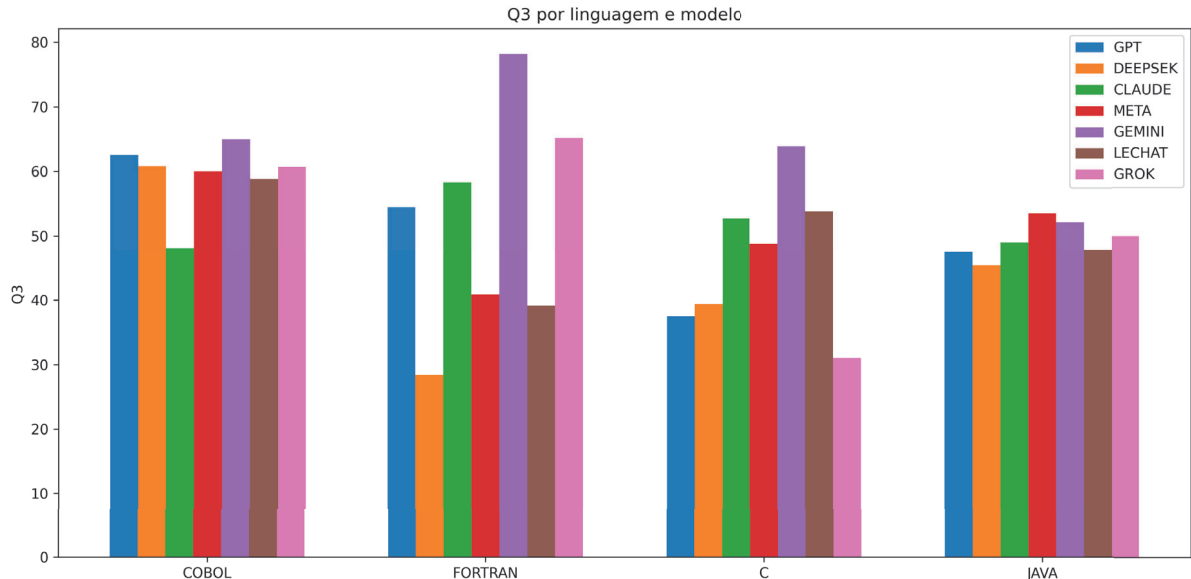
A Tabela 1 apresenta todos os valores obtidos, enquanto a Figura 6 apresenta uma representação gráfica comparativa dos resultados obtidos.

Tabela 1 – Resultado da Legibilidade por Linguagem x Modelo

	COBOL	FORTRAN	C	JAVA
GPT	62.5	54.4	37.5	47.5
DEEPSEEK	60.8	28.4	39.4	45.4
CLAUDE	48.1	58.3	52.7	49.0
META	60.0	40.9	48.8	53.5
GEMINI	65.0	78.2	63.9	52.1
LE CHAT MISTRAL	58.8	39.1	53.8	47.8
GROK	60.7	65.2	31.0	49.9

Fonte: Próprio Autor, 2025

Figura 6 – Gráfico Comparativo de Legibilidade por Linguagem x Modelo



Fonte: Próprio Autor, 2025

4.4.2 Análise da Métrica Dimensão

A métrica de dimensão Q4, avalia o comprimento médio dos comentários gerados por cada ferramenta, considerando como faixa ideal de referência valores entre 15 e 20 palavras, de modo a garantir explicações suficientemente detalhadas sobre o código. Os resultados obtidos, apresentados na Tabela 2, indicam que nenhuma das ferramentas atingiu a faixa considerada ideal, o que sugere que os comentários gerados foram, em geral, curtos demais para proporcionar uma descrição mais completa e precisa das funcionalidades do código.

Apesar disso, a ferramenta *Gemini* apresentou o melhor desempenho relativo, com os maiores comprimentos médios em todas as linguagens analisadas, alcançando 9,9 palavras em JAVA e 9,5 em C, demonstrando uma tendência a gerar comentários mais informativos e desenvolvidos, ainda que abaixo do ideal.

As demais ferramentas, como *GPT*, *Claude*, *Meta*, *Le Chat Mistral* e *Grok*, apresentaram comprimentos médios variando entre 4,1 e 11,8 palavras, o que comprova limitações no detalhamento das explicações geradas. A ferramenta *Claude* em JAVA, com 11,8 palavras em média, e *Meta*, com 11,5, se aproximam do desempenho de *Gemini*, mas de forma incoerente entre as demais linguagens.

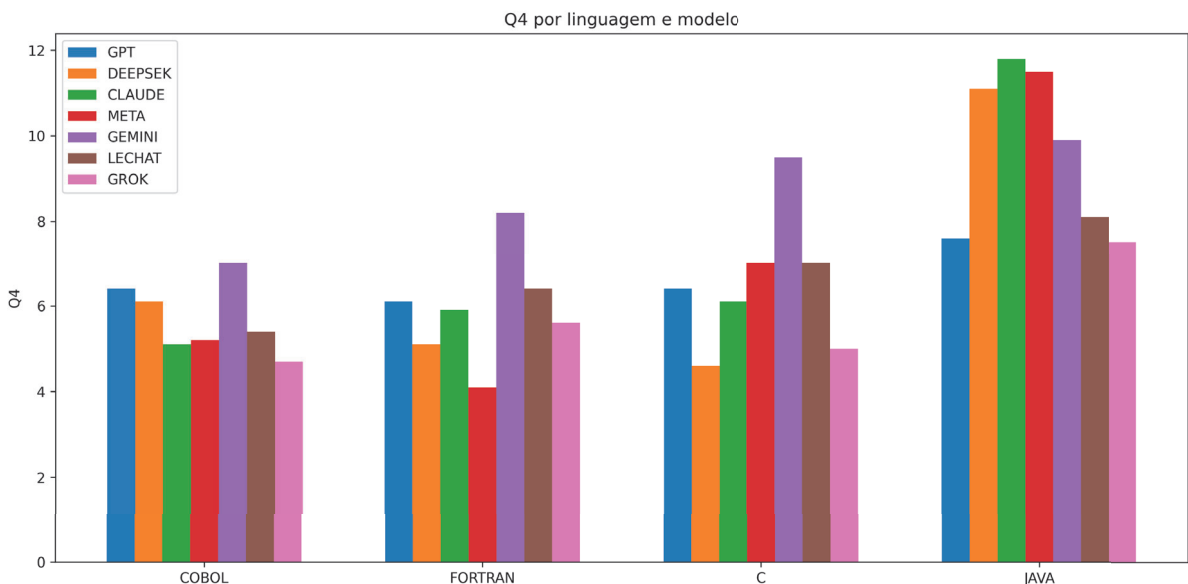
A Figura 7 apresenta uma comparação gráfica entre as ferramentas analisadas.

Tabela 2 – Resultado do Comprimento Médio por Linguagem x Modelo

	COBOL	FORTRAN	C	JAVA
GPT	6.4	6.1	6.4	7.6
DEEPSEK	6.1	5.1	4.6	11.1
CLAUDE	5.1	5.9	6.1	11.8
META	5.2	4.1	7.0	11.5
GEMINI	7.0	8.2	9.5	9.9
LE CHAT MISTRAL	5.4	6.4	7.0	8.1
GROK	4.7	5.6	5.0	7.5

Fonte: Próprio Autor, 2025

Figura 7 – Gráfico Comparativo do Comprimento Médio por Linguagem x Modelo



Fonte: Próprio Autor, 2025

4.4.3 Análise da Métrica Adequação de Comentários

A métrica adequação de comentários Q9, avalia a densidade de comentários no código gerado, com valores ideais entre 0 e 1 e um mínimo recomendado de 0,15.

De modo geral, todas as ferramentas superam esse limite em quase todas as linguagens analisadas. As exceções foram as ferramentas *DeepSeek* e *Meta* em *FORTRAN*, que apresentaram proporções de comentários consideravelmente abaixo do esperado, com 0,086 e 0,057, respectivamente.

A ferramenta *Gemini* se destacou por alcançar os melhores resultados, registrando as maiores proporções de comentários em todas as linguagens testadas, especialmente em *FORTRAN* obtendo um valor de 1,464 e C alcançando um valor de

0,935. Além dela, os modelos *Claude* e *Grok* também apresentaram pontuações altas, especificamente em C e *FORTRAN*, com valores acima de 0,7 nessas linguagens. Esses resultados indicam que *Gemini*, *Claude* e *Grok* geram códigos mais bem documentados, o que pode facilitar a compreensão do código-fonte.

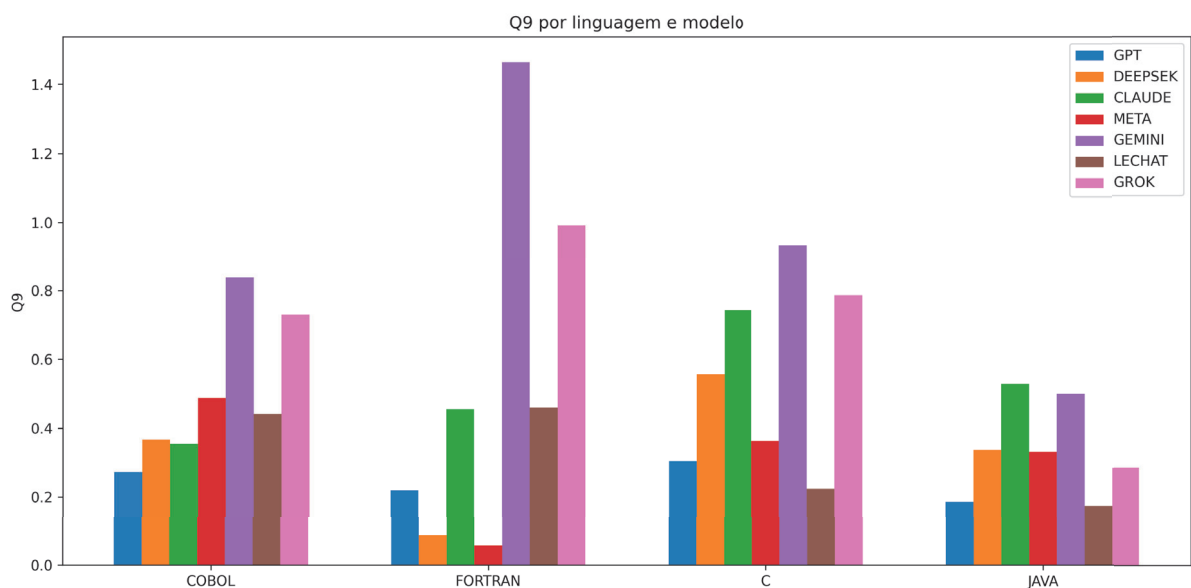
A Tabela 3 concentra os resultados obtidos nas análises, e a Figura 8 apresenta esses mesmos dados em formato gráfico para uma interpretação comparativa.

Tabela 3 – Resultados da Adequação de Comentários por Linguagem x Modelo

	COBOL	FORTRAN	C	JAVA
GPT	0.273	0.220	0.304	0.186
DEEPSEK	0.367	0.086	0.556	0.337
CLAUDE	0.355	0.456	0.743	0.529
META	0.488	0.057	0.363	0.331
GEMINI	0.838	1.464	0.935	0.5
LE CHAT MISTRAL	0.441	0.459	0.224	0.174
GROK	0.729	0.992	0.786	0.284

Fonte: Próprio Autor, 2025

Figura 8 – Gráfico Comparativo de Adequação de Comentários por Linguagem x Modelo



Fonte: Próprio Autor, 2025

5 CONCLUSÃO

Este trabalho teve como objetivo comparar ferramentas de inteligência artificial que podem ser utilizadas para aprimorar a documentação do código-fonte de sistemas legados, com foco nas linguagens *COBOL*, *FORTRAN*, *C* e *JAVA*. A pesquisa partiu da constatação de que a ausência de documentação adequada em sistemas legados representa um obstáculo significativo à sua manutenção e evolução, especialmente em ambientes corporativos onde essas linguagens ainda são amplamente utilizadas.

A metodologia adotada consistiu na utilização de sete ferramentas de geração automática de texto: *GPT*, *Deepseek*, *Claude*, *Meta*, *Gemini*, *Le Chat Mistral* e *Grok*. As ferramentas foram avaliadas por meio de três métricas principais: legibilidade dos comentários gerados, comprimento médio dos textos e proporção de comentários no código.

Em geral, a ferramenta *Gemini* apresentou o melhor desempenho total, destacando-se positivamente nas três métricas avaliadas. Foi a única capaz de atingir níveis desejáveis de legibilidade em todas as linguagens, produzir textos relativamente mais longos mesmo que abaixo do aceitável e manter a maior proporção de comentários no código gerado. As demais ferramentas apresentaram desempenhos mais irregulares, com declínio significativo em uma ou mais métricas dependendo da linguagem avaliada, principalmente referente à legibilidade e comprimento dos textos. Essa análise evidencia o potencial da ferramenta *Gemini* como uma ótima solução para a geração de documentação legível, informativa e bem comentada para códigos-fonte legados.

Durante o processo de avaliação, foram identificadas limitações importantes relacionadas à entrada do *prompt*, tanto em relação à quantidade de caracteres permitidos quanto à forma de envio dos dados. Além disso, embora as métricas adotadas neste estudo sejam relevantes, há espaço para aprimoramento em investigações posteriores com o intuito de possibilitar uma análise mais precisa.

Assim, para trabalhos futuros, propõe-se a ampliação do termo utilizado no *prompt*, permitindo um aproveitamento mais aprofundado de diferentes maneiras de entrada. Além disso, a análise de uma maior variedade de linguagens de programação se faz importante para avaliar o comportamento das ferramentas em diversos ambientes de desenvolvimento. Também se destaca a possibilidade de geração de documentação em outros idiomas, o que amplia o alcance e a aplicabilidade dos resultados. Por fim, a utilização de diferentes estratégias de envio de entrada pode melhorar a interação com as ferramentas. Essas linhas de pesquisa não apenas enriquecem a compreensão das capacidades das ferramentas, mas também contribuirão para um

campo de estudo mais diversificado e aplicado.

REFERÊNCIAS

- ALHAMED, M.; STORER, T. Evaluation of context-aware language models and experts for effort estimation of software maintenance issues. In: IEEE. 2022 *IEEE International Conference on Software Maintenance and Evolution (ICSME)*. [S.I.], 2022. p. 129–138. Citado na página 24.
- ARTHUR, J. D.; STEVENS, K. T. Assessing the adequacy of documentation through document quality indicators. In: IEEE. *Proceedings. Conference on Software Maintenance-1989*. [S.I.], 1989. p. 40–49. Citado na página 31.
- AVERSANO, L.; GUARDABASCIO, D.; TORTORELLA, M. Evaluating the quality of the documentation of open source software. In: SCITEPRESS. *International Conference on Evaluation of Novel Approaches to Software Engineering*. [S.I.], 2017. v. 2, p. 308–313. Citado 2 vezes nas páginas 31 e 32.
- BATISTA, R. d. S. *Lógica de Programação*. [S.I.: s.n.], 2016. Citado na página 20.
- BOOCH, G. *UML: guia do usuário*. [S.I.]: Elsevier Brasil, 2006. Citado na página 19.
- BRANDON, A. *nbgit*. 2010. Disponível em: <<https://github.com/myabc/nbgit>>. Citado na página 36.
- CHARNIAK, E. *Introduction to artificial intelligence*. [S.I.]: Pearson Education India, 1985. Citado na página 22.
- COELHO, H. S. Documentação de software: uma necessidade. *Texto Livre: linguagem e tecnologia*, Universidade Federal de Minas Gerais, v. 2, n. 1, p. 17–21, 2009. Citado 2 vezes nas páginas 16 e 19.
- CROSBY, P. B. Quality is free: The art of making quality certain. 1979. Citado na página 20.
- CROTTY, J.; HORROCKS, I. Managing legacy system costs: A case study of a meta-assessment model to identify solutions in a large financial services company. *Applied computing and informatics*, Elsevier, v. 13, n. 2, p. 175–183, 2017. Citado 2 vezes nas páginas 17 e 21.
- DAMACENO, S. S.; VASCONCELOS, R. O. et al. Inteligência artificial: uma breve abordagem sobre seu conceito real e o conhecimento popular. *Caderno de Graduação-Ciências Exatas e Tecnológicas-UNIT-SERGIPE*, v. 5, n. 1, p. 11–11, 2018. Citado na página 16.
- ERIC. COBOL. 2015. Disponível em: <<https://github.com/EstesE/COBOL>>. Citado na página 35.
- ESPINDOLA, R. S. de; MAJDENBAUM, A.; AUDY, J. L. N. Uma análise crítica dos desafios para engenharia de requisitos em manutenção de software. In: *WER*. [S.I.]: s.n.], 2004. p. 226–238. Citado na página 21.

- FRITOLA, R. G.; SANTANDER, V. F. Documentação de requisitos de sistemas legados uma proposta baseada na engenharia de requisitos orientada a objetivos. In: *WER 2022*. [S.I.: s.n.], 2022. Citado na página 16.
- HAN, J. et al. Characterization and prediction of popular projects on github. In: IEEE. *2019 IEEE 43rd annual computer software and applications conference (COMPSAC)*. [S.I.], 2019. v. 1, p. 21–26. Citado na página 34.
- HAUGELAND, J. *Artificial intelligence: The very idea*. [S.I.]: MIT press, 1989. Citado na página 22.
- HU, Y. et al. Influence analysis of github repositories. *SpringerPlus*, Springer, v. 5, p. 1–19, 2016. Citado na página 34.
- JANSEN, P. *TIOBE Index for May 2025*. 2025. <<https://www.tiobe.com/tiobe-index/>>. Acessado em: 10 Maio 2025. Citado na página 34.
- JIANG, N.; LUTELLIER, T.; TAN, L. Cure: Code-aware neural machine translation for automatic program repair. In: IEEE. *2021 IEEE/ACM 43rd International Conference on Software Engineering (ICSE)*. [S.I.], 2021. p. 1161–1173. Citado na página 24.
- JURAN, J. M.; GODFREY, A. B. *The quality control process*. [S.I.]: McGraw-Hill, 1999. Citado na página 21.
- KRISHNAMURTHY, R. *UnixV6*. 2009. Disponível em: <<https://github.com/Rajmohan/UnixV6>>. Citado na página 36.
- KURZWEIL, R. et al. *The age of intelligent machines*. [S.I.]: MIT press Cambridge, 1990. v. 580. Citado na página 22.
- MARTIN, R. C. *Código limpo: habilidades práticas do Agile software*. [S.I.]: Alta Books Grupo Editorial, 2019. Citado na página 19.
- MCCALL, J. A.; RICHARDS, P. K.; WALTERS, G. F. Factors in software quality. volume i. concepts and definitions of software quality. *General Electric CO Sunnyvale CA*, 1977. Citado na página 20.
- MCCONNELL, S. *Code complete*. [S.I.]: Pearson Education, 2004. Citado na página 21.
- MICHELAZZO, P. *Documentação de software, 2006*. 2008. Citado na página 19.
- MONARD, M. C.; BARANAUSKAS, J. A. Aplicações de inteligência artificial: uma visão geral. *Anais*, 2000. Citado na página 23.
- NASA. *NASTRAN-93*. 2015. Disponível em: <<https://github.com/nasa/NASTRAN-93>>. Citado na página 36.
- OLIVEIRA, K. M. de. A study of the documentation essential to software maintenance. 2005. Citado na página 16.
- OZDEMIR, S. *Quick Start Guide to Large Language Models: Strategies and Best Practices for Using ChatGPT and Other LLMs*. [S.I.]: Addison-Wesley Professional, 2023. Citado na página 23.

- PEREIRA, M. G.; GALVÃO, T. F. Etapas de busca e seleção de artigos em revisões sistemáticas da literatura. *Epidemiologia e Serviços de Saúde*, SciELO Brasil, v. 23, n. 2, p. 369–371, 2014. Citado na página 25.
- PLÖSCH, R.; DAUTOVIC, A.; SAFT, M. The value of software documentation quality. In: IEEE. 2014 14th International Conference on Quality Software. [S.I.], 2014. p. 333–342. Citado na página 31.
- POOLE, D.; MACKWORTH, A.; GOEBEL, R. Computational intelligence and knowledge. *Computational intelligence: a logical approach*, Oxford University Press New York, NY, USA, v. 1, n. 1, p. 1–22, 1998. Citado na página 22.
- PRESSMAN, B. M. R. *Engenharia de Software*. [S.I.]: AMGH Editora LTDA, 2016. Citado na página 16.
- QUALITOR. *Manual do USUÁRIO FINAL*. 2016. Disponível em: <https://www.qualitor.com.br/docs/8.10.04.20170127/novainterlusufinal/index.html?uf_interface_portal.htm>. Citado na página 20.
- RAMOS, C. S.; OLIVEIRA, K. M. de; ANQUETIL, N. Conhecendo sistemas legados através de métricas de software. In: SBC. *Anais do III Simpósio Brasileiro de Qualidade de Software*. [S.I.], 2004. p. 261–275. Citado na página 22.
- REBELO, M. *The best AI chatbots in 2025*. 2025. <<https://zapier.com/blog/best-ai-chatbot/>>. Acessado em: 6 Abril 2025. Citado na página 30.
- ROCHA, N. A. d. S. et al. Documentação de software: integração de ferramentas de modelação e processamento de texto. 2008. Citado na página 17.
- RUSSEL, S.; NORVIG, P. Inteligência artificial. 2ª. Edição. São Paulo: Campus, 2004. Citado na página 22.
- SILVA, R. A. C. Inteligência artificial aplicada a ambientes de engenharia de software: Uma visão geral. *INFOCOMP Journal of Computer Science*, v. 4, n. 4, p. 27–37, 2005. Citado 2 vezes nas páginas 16 e 17.
- SNEED, H. M. Integrating legacy software into a service oriented architecture. In: IEEE. *Conference on Software Maintenance and Reengineering (CSMR'06)*. [S.I.], 2006. p. 11–pp. Citado na página 33.
- SOMMERVILLE, I. *Engenharia de Software*. [S.I.]: Pearson Education do Brasil, 2011. Citado na página 16.
- SOUZA GLEICE C. DE L. MORENO, N. H. A. K. Marco P. M. de. *ALT - Análise de Legibilidade Textual*. 2021. <<https://legibilidade.com/>>. Acessado em: 16 Maio 2025. Citado na página 38.
- SOUZA, S. C. B. de et al. Investigação da documentação de maior importância para manutenção de software. 2015. Citado na página 19.
- TREUDE, C.; MIDDLETON, J.; ATAPATTU, T. Beyond accuracy: Assessing software documentation quality. In: *Proceedings of the 28th ACM Joint Meeting on European Software Engineering Conference and Symposium on the Foundations of Software Engineering*. [S.I.]: s.n., 2020. p. 1509–1512. Citado na página 21.

- WANG, B. et al. Transmap: Pinpointing mistakes in neural code translation. In: *Proceedings of the 31st ACM Joint European Software Engineering Conference and Symposium on the Foundations of Software Engineering*. [S.I.: s.n.], 2023. p. 999–1011. Citado na página 23.
- WINGKVIST, A. et al. A metrics-based approach to technical documentation quality. In: IEEE. *2010 Seventh International Conference on the Quality of Information and Communications Technology*. [S.I.], 2010. p. 476–481. Citado 2 vezes nas páginas 20 e 31.
- XIE, D. et al. Impact of large language models on generating software specifications. *arXiv preprint arXiv:2306.03324*, 2023. Citado na página 23.
- ZHANG, Q. et al. A survey on large language models for software engineering. *arXiv preprint arXiv:2312.15223*, 2023. Citado na página 23.
- ZHU, Z.; WANG, Y.; LI, Y. Trobo: A novel deep transfer model for enhancing cross-project bug localization. In: SPRINGER. *International Conference on Knowledge Science, Engineering and Management*. [S.I.], 2021. p. 529–541. Citado na página 23.

ANEXO A – CÓDIGO COBOL

```

1 IDENTIFICATION DIVISION.
2 ENVIRONMENT DIVISION.
3 INPUT-OUTPUT SECTION.
4 FILE-CONTROL.
5   SELECT PAYROLL-FILE-IN
6     ASSIGN TO "TW12C.DAT".
7   SELECT INCOME-TAX-REPORT-OUT
8     ASSIGN TO "PROG6_OUT.DAT".
9 DATA DIVISION.
10 FILE SECTION.
11 FD PAYROLL-FILE-IN
12   RECORD CONTAINS 80 CHARACTERS
13   LABEL RECORDS ARE OMITTED
14   DATA RECORD IS PR-PAYROLL-REC-IN.
15 01 PR-PAYROLL-REC-IN          PIC X(80).
16 FD INCOME-TAX-REPORT-OUT
17   RECORD CONTAINS 132 CHARACTERS
18   LABEL RECORDS ARE OMITTED
19   DATA RECORD IS IT-REPORT-OUT.
20 01 IT-REPORT-OUT          PIC X(132).
21 WORKING-STORAGE SECTION.
22 01 WS-SWITCHES.
23   05 WS-EOF-SWITCH          PIC X(1).
24 01 WS-PAGE-LAYOUT.
25   05 WS-LINES-USED          PIC 9(2).
26   05 WS-PAGE-COUNT          PIC 9(2).
27 01 WS-CALC-WORK-AREA.
28   05 WS-EXEMPT-SUB-TOT      PIC 9(5)V99.
29   05 WS-ANN-EARN            PIC 9(6)V99.
30   05 WS-EARNINGS            PIC 9(6)V99.
31   05 WS-ANN-TAX-AMT          PIC 9(6)V99.
32   05 WS-PER-TAX-AMT          PIC 9(6)V99.
33 01 WS-TABLE-CONTROLS.
34   05 WS-ROW-FOUND-SWITCH    PIC X(1).
35     88 WS-ROW-FOUND          VALUE "Y".
36     88 WS-END-OF-TABLE        VALUE "E".
37 01 WS-TOTALS.
38   05 WS-EARN-THIS-PER-TOT    PIC 9(6)V99.
39   05 WS-FED-TAX-AMT-TOT      PIC 9(6)V99.
40   05 WS-FED-TAX-THIS-PER-TOT  PIC 9(6)V99.
41 01 WS-MARR-TAX-DATA.
42   05 FILLER          PIC X(16) VALUE "0000002400000000".
43   05 FILLER          PIC X(16) VALUE "0240006600000015".

```

```
44      05  FILLER           PIC X(16) VALUE "0660010900063018".
45      05  FILLER           PIC X(16) VALUE "1090015000140421".
46      05  FILLER           PIC X(16) VALUE "1500019200226524".
47      05  FILLER           PIC X(16) VALUE "1920023600327328".
48      05  FILLER           PIC X(16) VALUE "2360028900450532".
49      05  FILLER           PIC X(16) VALUE "2890099999620137".
50 01 WS-MARR-TAX-TABLE REDEFINES WS-MARR-TAX-DATA.
51      05 WS-MARR-TAX-ROW      OCCURS 8 TIMES
52                      INDEXED BY M-INDEX.
53          10 WS-MARR-LOW      PIC 9(5).
54          10 WS-MARR-HIGH     PIC 9(5).
55          10 WS-MARR-BASE-AMT PIC 9(4).
56          10 WS-MARR-PERCENT  PIC V99.
57 01 WS-SING-TAX-DATA.
58      05 FILLER           PIC X(16) VALUE "0000001420000000".
59      05 FILLER           PIC X(16) VALUE "0142003300000015".
60      05 FILLER           PIC X(16) VALUE "0330006800028218".
61      05 FILLER           PIC X(16) VALUE "0680010200091221".
62      05 FILLER           PIC X(16) VALUE "1020014200162626".
63      05 FILLER           PIC X(16) VALUE "1420017200266630".
64      05 FILLER           PIC X(16) VALUE "1720022500356634".
65      05 FILLER           PIC X(16) VALUE "225009999536839".
66 01 WS-SING-TAX-TABLE REDEFINES WS-SING-TAX-DATA.
67      05 WS-SING-TAX-ROW      OCCURS 8 TIMES
68                      INDEXED BY S-INDEX.
69          10 WS-SING-LOW      PIC 9(5).
70          10 WS-SING-HIGH     PIC 9(5).
71          10 WS-SING-BASE-AMT PIC 9(4).
72          10 WS-SING-PERCENT  PIC V99.
73 01 WS-PR-PAYROLL-REC-IN.
74      05 WS-PR-REC-CODE-IN      PIC 9(2).
75      05 WS-PR-SSN-IN.
76          10 WS-PR-SSN-3-IN      PIC X(3).
77          10 WS-PR-SSN-2-IN      PIC X(2).
78          10 WS-PR-SSN-4-IN      PIC X(4).
79      05 WS-PR-EMPL-NAME-IN      PIC X(18).
80      05 FILLER           PIC X(20) VALUE SPACES.
81      05 WS-PR-EARN-THIS-PER-IN PIC 9(5)V99.
82      05 FILLER           PIC X(14) VALUE SPACES.
83      05 WS-PR-MARITAL-STATUS-IN PIC 9(1).
84      05 WS-PR-EXEMPTIONS-IN    PIC 9(1).
85      05 FILLER           PIC X(8) VALUE SPACES.
86 01 WS-HEADING.
87      05 FILLER           PIC X(7) VALUE "FEDERAL".
88      05 FILLER           PIC X(1) VALUE SPACES.
89      05 FILLER           PIC X(6) VALUE "INCOME".
90      05 FILLER           PIC X(1) VALUE SPACES.
```

```
91      05 FILLER          PIC X(3) VALUE "TAX".  
92      05 FILLER          PIC X(1) VALUE SPACES.  
93      05 FILLER          PIC X(8) VALUE "REGISTER".  
94      05 FILLER          PIC X(50) VALUE SPACES.  
95      05 FILLER          PIC X(4) VALUE "PAGE".  
96      05 FILLER          PIC X(1) VALUE SPACES.  
97      05 WS-PAGE-OUT    PIC ZZ9.  
98      05 FILLER          PIC X(47) VALUE SPACES.  
99 01 WS-COLUMN-HEADING-01.  
100     05 FILLER          PIC X(6) VALUE "SOCIAL".  
101     05 FILLER          PIC X(1) VALUE SPACES.  
102     05 FILLER          PIC X(4) VALUE "SEC.". .  
103     05 FILLER          PIC X(22) VALUE SPACES.  
104     05 FILLER          PIC X(1) VALUE "M".  
105     05 FILLER          PIC X(2) VALUE SPACES.  
106     05 FILLER          PIC X(2) VALUE "WH".  
107     05 FILLER          PIC X(3) VALUE SPACES.  
108     05 FILLER          PIC X(8) VALUE "EARNINGS".  
109     05 FILLER          PIC X(2) VALUE SPACES.  
110     05 FILLER          PIC X(10) VALUE "ANNUALIZED".  
111     05 FILLER          PIC X(4) VALUE SPACES.  
112     05 FILLER          PIC X(8) VALUE "ADJUSTED".  
113     05 FILLER          PIC X(4) VALUE SPACES.  
114     05 FILLER          PIC X(7) VALUE "FEDERAL".  
115     05 FILLER          PIC X(5) VALUE SPACES.  
116     05 FILLER          PIC X(3) VALUE "FED".  
117     05 FILLER          PIC X(1) VALUE SPACES.  
118     05 FILLER          PIC X(3) VALUE "TAX".  
119     05 FILLER          PIC X(36) VALUE SPACES.  
120 01 WS-COLUMN-HEADING-02.  
121     05 FILLER          PIC X(2) VALUE SPACES.  
122     05 FILLER          PIC X(6) VALUE "NUMBER".  
123     05 FILLER          PIC X(7) VALUE SPACES.  
124     05 FILLER          PIC X(8) VALUE "EMPLOYEE".  
125     05 FILLER          PIC X(1) VALUE SPACES.  
126     05 FILLER          PIC X(4) VALUE "NAME".  
127     05 FILLER          PIC X(5) VALUE SPACES.  
128     05 FILLER          PIC X(1) VALUE "S".  
129     05 FILLER          PIC X(2) VALUE SPACES.  
130     05 FILLER          PIC X(2) VALUE "EX".  
131     05 FILLER          PIC X(2) VALUE SPACES.  
132     05 FILLER          PIC X(4) VALUE "THIS".  
133     05 FILLER          PIC X(1) VALUE SPACES.  
134     05 FILLER          PIC X(4) VALUE "PER.". .  
135     05 FILLER          PIC X(4) VALUE SPACES.  
136     05 FILLER          PIC X(8) VALUE "EARNINGS".  
137     05 FILLER          PIC X(4) VALUE SPACES.
```

```
138      05 FILLER          PIC X(8) VALUE "EARNINGS".  
139      05 FILLER          PIC X(4) VALUE SPACES.  
140      05 FILLER          PIC X(3) VALUE "TAX".  
141      05 FILLER          PIC X(1) VALUE SPACES.  
142      05 FILLER          PIC X(4) VALUE "AMT.".br/>143      05 FILLER          PIC X(2) VALUE SPACES.  
144      05 FILLER          PIC X(4) VALUE "THIS".  
145      05 FILLER          PIC X(1) VALUE SPACES.  
146      05 FILLER          PIC X(6) VALUE "PERIOD".  
147      05 FILLER          PIC X(34) VALUE SPACES.  
148 01 WS-DETAIL-LINE.  
149      05 WS-SSN-OUT.  
150          10 WS-SSN-3-OUT  PIC X(3).  
151          10 FILLER      PIC X(1) VALUE "-".  
152          10 WS-SSN-2-OUT  PIC X(2).  
153          10 FILLER      PIC X(1) VALUE "-".  
154          10 WS-SSN-4-OUT  PIC X(4).  
155      05 FILLER          PIC X(2) VALUE SPACES.  
156      05 WS-EMPL-NAME-OUT  PIC X(18).  
157      05 FILLER          PIC X(2) VALUE SPACES.  
158      05 WS-MARITAL-STATUS-OUT  PIC 9.  
159      05 FILLER          PIC X(2) VALUE SPACES.  
160      05 WS-WITHHOLD-EXEMPT-OUT  PIC 99.  
161      05 FILLER          PIC X(2) VALUE SPACES.  
162      05 WS-EARN-THIS-PER-OUT  PIC ZZ,ZZZ.99.  
163      05 FILLER          PIC X(2) VALUE SPACES.  
164      05 WS-ANN-EARN-OUT  PIC ZZZ,ZZZ.99.  
165      05 FILLER          PIC X(2) VALUE SPACES.  
166      05 WS-ADJ-EARN-OUT  PIC ZZZ,ZZZ.99.  
167      05 FILLER          PIC X(2) VALUE SPACES.  
168      05 WS-FED-TAX-AMT-OUT  PIC ZZ,ZZZ.99.  
169      05 FILLER          PIC X(4) VALUE SPACES.  
170      05 WS-FED-TAX-THIS-PER-OUT  PIC Z,ZZZ.99.  
171      05 FILLER          PIC X(36) VALUE SPACES.  
172 01 WS-TAX-EXEMPT-LINE.  
173      05 WS-TE-SSN-OUT.  
174          10 WS-TE-SSN-3-OUT  PIC X(3).  
175          10 FILLER      PIC X(1) VALUE "-".  
176          10 WS-TE-SSN-2-OUT  PIC X(2).  
177          10 FILLER      PIC X(1) VALUE "-".  
178          10 WS-TE-SSN-4-OUT  PIC X(4).  
179      05 FILLER          PIC X(2) VALUE SPACES.  
180      05 WS-TE-EMPL-NAME-OUT  PIC X(18).  
181      05 FILLER          PIC X(2) VALUE SPACES.  
182      05 WS-TE-MARITAL-STATUS-OUT  PIC 9.  
183      05 FILLER          PIC X(2) VALUE SPACES.  
184      05 WS-TE-WITHHOLD-EXEMPT-OUT  PIC 99.
```

```
185      05  FILLER                  PIC X(2) VALUE SPACES.
186      05  WS-TE-EARN-THIS-PER-OUT  PIC ZZ,ZZZ.99.
187      05  FILLER                  PIC X(3) VALUE SPACES.
188      05  FILLER                  PIC X(3) VALUE "- ".
189      05  FILLER                  PIC X(7) VALUE "  T A X".
190      05  FILLER                  PIC X(6) VALUE SPACES.
191      05  FILLER                  PIC X(13) VALUE "E X E M P T ".
192      05  FILLER                  PIC X(3) VALUE "  -".
193 01  WS-TOTAL-LINE.
194      05  FILLER                  PIC X(20) VALUE SPACES.
195      05  FILLER                  PIC X(13) VALUE "T O T A L S :".
196      05  FILLER                  PIC X(6) VALUE SPACES.
197      05  WS-TOT-EARN-THIS-PER-OUT  PIC ZZZ,ZZZ.99.
198      05  FILLER                  PIC X(25) VALUE SPACES.
199      05  WS-TOT-FED-TAX-AMT-OUT    PIC ZZZ,ZZZ.99.
200      05  FILLER                  PIC X(3) VALUE SPACES.
201      05  WS-TOT-FED-TAX-THIS-PER-OUT  PIC ZZ,ZZZ.99.
202      05  FILLER                  PIC X(1) VALUE SPACES.
203      05  FILLER                  PIC X(1) VALUE "*".
204      05  FILLER                  PIC X(34) VALUE SPACES.
205 PROCEDURE DIVISION.
206 A00-MAINLINE-PARA.
207   OPEN INPUT PAYROLL-FILE-IN
208     OUTPUT INCOME-TAX-REPORT-OUT.
209   PERFORM B10-INIT-PARA.
210   READ PAYROLL-FILE-IN INTO WS-PR-PAYROLL-REC-IN
211     AT END MOVE "Y" TO WS-EOF-SWITCH.
212   PERFORM B20-PROCESS-PARA
213     UNTIL WS-EOF-SWITCH = "Y".
214   PERFORM C20-TOTAL-PARA.
215   CLOSE PAYROLL-FILE-IN
216     INCOME-TAX-REPORT-OUT.
217   STOP RUN.
218 B10-INIT-PARA.
219   MOVE ZEROS TO WS-LINES-USED
220     WS-EARN-THIS-PER-TOT
221     WS-FED-TAX-AMT-TOT
222     WS-FED-TAX-THIS-PER-TOT.
223   MOVE 1 TO WS-PAGE-COUNT.
224   PERFORM C10-HEADINGS-PARA.
225 B20-PROCESS-PARA.
226   MULTIPLY WS-PR-EXEMPTIONS-IN BY 1000 GIVING
227     WS-EXEMPT-SUB-TOT ROUNDED.
228   MULTIPLY WS-PR-EARN-THIS-PER-IN BY 26 GIVING
229     WS-ANN-EARN.
230   SUBTRACT WS-EXEMPT-SUB-TOT FROM WS-ANN-EARN GIVING
231     WS-EARNINGS ROUNDED.
```

```
232
233     IF WS-PR-MARITAL-STATUS-IN = 1 THEN
234         PERFORM C30-SINGLE-TAX-PARA
235     ELSE
236         MOVE "E" TO WS-ROW-FOUND-SWITCH
237     END-IF.

238
239     IF WS-PR-MARITAL-STATUS-IN = 2 THEN
240         PERFORM C40-MARRIED-TAX-PARA
241     ELSE
242         MOVE "E" TO WS-ROW-FOUND-SWITCH
243     END-IF.

244
245     IF WS-PR-MARITAL-STATUS-IN = 3 THEN
246         PERFORM C60-TAX-EXEMPT-PARA
247     END-IF.

248
249
250     ADD 2 TO WS-LINES-USED.
251     ADD WS-PR-EARN-THIS-PER-IN TO WS-EARN-THIS-PER-TOT.
252     READ PAYROLL-FILE-IN INTO WS-PR-PAYROLL-REC-IN
253         AT END MOVE "Y" TO WS-EOF-SWITCH.

C10-HEADINGS-PARA.
254
255     MOVE WS-PAGE-COUNT TO WS-PAGE-OUT.
256     WRITE IT-REPORT-OUT FROM WS-HEADING
257         AFTER ADVANCING PAGE.
258     MOVE SPACES TO IT-REPORT-OUT.
259     WRITE IT-REPORT-OUT
260         AFTER ADVANCING 1 LINE.
261     WRITE IT-REPORT-OUT FROM WS-COLUMN-HEADING-01
262         AFTER ADVANCING 1 LINES.
263     WRITE IT-REPORT-OUT FROM WS-COLUMN-HEADING-02
264         AFTER ADVANCING 1 LINE.
265     ADD 3 TO WS-LINES-USED.
266     ADD 1 TO WS-PAGE-COUNT.

C20-TOTAL-PARA.
267
268     IF WS-LINES-USED >= 57 THEN
269         PERFORM C10-HEADINGS-PARA
270         MOVE ZEROS TO WS-LINES-USED
271     END-IF.
272     MOVE WS-EARN-THIS-PER-TOT TO WS-TOT-EARN-THIS-PER-OUT.
273     MOVE WS-FED-TAX-AMT-TOT TO WS-TOT-FED-TAX-AMT-OUT.
274     MOVE WS-FED-TAX-THIS-PER-TOT TO WS-TOT-FED-TAX-THIS-PER-OUT.
275     MOVE SPACES TO IT-REPORT-OUT.
276     WRITE IT-REPORT-OUT
277         AFTER ADVANCING 1 LINE.
278     WRITE IT-REPORT-OUT FROM WS-TOTAL-LINE
```

```
279      AFTER ADVANCING 2 LINE.
280      C30-SINGLE-TAX-PARA.
281      SET S-INDEX TO 1.
282      SEARCH WS-SING-TAX-ROW
283          AT END MOVE "E" TO WS-ROW-FOUND-SWITCH
284          WHEN WS-EARNINGS IS >= WS-SING-LOW (S-INDEX) AND
285              IS <= WS-SING-HIGH (S-INDEX)
286          MOVE "Y" TO WS-ROW-FOUND-SWITCH.
287      IF WS-ROW-FOUND THEN
288          COMPUTE WS-ANN-TAX-AMT =
289              WS-SING-BASE-AMT (S-INDEX) +
290              WS-SING-PERCENT (S-INDEX) *
291              (WS-EARNINGS - WS-SING-LOW (S-INDEX)).
292          PERFORM C50-LINE-OUTPUT-PARA.
293      C40-MARRIED-TAX-PARA.
294      SET M-INDEX TO 1.
295      SEARCH WS-MARR-TAX-ROW
296          AT END MOVE "E" TO WS-ROW-FOUND-SWITCH
297          WHEN WS-EARNINGS IS >= WS-MARR-LOW (M-INDEX) AND
298              IS <= WS-MARR-HIGH (M-INDEX)
299          MOVE "Y" TO WS-ROW-FOUND-SWITCH.
300      IF WS-ROW-FOUND THEN
301          COMPUTE WS-ANN-TAX-AMT =
302              WS-MARR-BASE-AMT (M-INDEX) +
303              WS-MARR-PERCENT (M-INDEX) *
304              (WS-EARNINGS - WS-MARR-LOW (M-INDEX)).
305          PERFORM C50-LINE-OUTPUT-PARA.
306      C50-LINE-OUTPUT-PARA.
307          DIVIDE WS-ANN-TAX-AMT BY 26 GIVING WS-PER-TAX-AMT ROUNDED.
308          ADD WS-ANN-TAX-AMT TO WS-FED-TAX-AMT-TOT.
309          ADD WS-PER-TAX-AMT TO WS-FED-TAX-THIS-PER-TOT.
310          MOVE WS-PR-SSN-3-IN TO WS-SSN-3-OUT.
311          MOVE WS-PR-SSN-2-IN TO WS-SSN-2-OUT.
312          MOVE WS-PR-SSN-4-IN TO WS-SSN-4-OUT.
313          MOVE WS-PR-EMPL-NAME-IN TO WS-EMPL-NAME-OUT.
314          MOVE WS-PR-MARITAL-STATUS-IN TO WS-MARITAL-STATUS-OUT.
315          MOVE WS-PR-EXEMPTIONS-IN TO WS-WITHHOLD-EXEMPT-OUT.
316          MOVE WS-PR-EARN-THIS-PER-IN TO WS-EARN-THIS-PER-OUT.
317          MOVE WS-ANN-EARN TO WS-ANN-EARN-OUT.
318          MOVE WS-EARNINGS TO WS-ADJ-EARN-OUT.
319          MOVE WS-PER-TAX-AMT TO WS-FED-TAX-THIS-PER-OUT.
320          MOVE WS-ANN-TAX-AMT TO WS-FED-TAX-AMT-OUT.
321          IF WS-LINES-USED >= 57 THEN
322              PERFORM C10-HEADINGS-PARA
323              MOVE ZEROS TO WS-LINES-USED
324          END-IF.
325          MOVE SPACES TO IT-REPORT-OUT.
```

```
326      WRITE IT-REPORT-OUT
327          AFTER ADVANCING 1 LINE.
328      WRITE IT-REPORT-OUT FROM WS-DETAIL-LINE
329          AFTER ADVANCING 1 LINE.
330 C60-TAX-EXEMPT-PARA .
331      ADD 2 TO WS-LINES-USED .
332      MOVE WS-PR-SSN-3-IN TO WS-TE-SSN-3-OUT .
333      MOVE WS-PR-SSN-2-IN TO WS-TE-SSN-2-OUT .
334      MOVE WS-PR-SSN-4-IN TO WS-TE-SSN-4-OUT .
335      MOVE WS-PR-EMPL-NAME-IN TO WS-TE-EMPL-NAME-OUT .
336      MOVE WS-PR-MARITAL-STATUS-IN TO WS-TE-MARITAL-STATUS-OUT .
337      MOVE WS-PR-EXEMPTIONS-IN TO WS-TE-WITHHOLD-EXEMPT-OUT .
338      MOVE WS-PR-EARN-THIS-PER-IN TO WS-TE-EARN-THIS-PER-OUT .
339      MOVE "Y" TO WS-ROW-FOUND-SWITCH .
340      IF WS-ROW-FOUND THEN
341          MOVE SPACES TO IT-REPORT-OUT .
342          WRITE IT-REPORT-OUT
343              AFTER ADVANCING 1 LINE .
344          WRITE IT-REPORT-OUT FROM WS-TAX-EXEMPT-LINE
345              AFTER ADVANCING 1 LINE .
```

ANEXO B – CÓDIGO FORTRAN

```

1      PROGRAM FF
2 CDC   PROGRAM FF (TAPE3)
3      LOGICAL      STAR,      PCT,      NOTYET,      PUNCH,      UPFLAG
4      INTEGER      SCREEN,    PROM,      FFFLAG,    FACSF,      NC(7),
5      1            IBM,      UNIVAC,    CDC,      VAX,      PC,
6      2            UNIX
7      CHARACTER*1  FN(1),    BK1,      N1,      Y1,      X1,
8      1            S1,      W1,      A1,      H1,      CARD1(5),
9      2            FX,      MARKQ,    QMARK,    TMP,      RPRN,
10     3            SPL(8),   DOT,      D1,      T1
11     CHARACTER*2  CARD2,    REPL
12     CHARACTER*3  NEW,      OLD,      ODNW
13     CHARACTER*4  CARD(20), SAVE(20), BEGN,    HELP,      STOP,
14     1            LIST,    BLANK,    END1,    END2,      END3,
15     2            CANC1,   CANC2,    ALTER,    CARD4,    FN4,
16     3            BBK(2),   KSMB(9)
17     CHARACTER*6  FN6,      BEGN6,    HELP6,    STOP6,    CARD6,
18     1            MTYPE(7), CNTLWD(3)
19     CHARACTER*8  FNAME(4), MYFILE,   BLNK8,    SITE,      CNTRL,
20     1            USE(2),   SYM(4),   TAPE03,   TPF,      FOR003,
21     2            DORK,    KEEP,     SPILL
22     CHARACTER*11 F
23     CHARACTER*32 FN32
24     COMMON /SYSTEM/ IBUF,    NOUT,    NOGO,    IN,      ISYS(15)
25     COMMON /MACHIN/ MACH
26     COMMON /XXREAD/ INFLAG,  INSAVE,  LOOP4,    IBMCDC
27     COMMON /XECHOX/ FFFLAG,  IECHO(3), ISORT(5)
28     COMMON /XREADX/ SCREEN,  LOOP,    KOUNT,    PROM,    NOTYET,
29     1            STAR,    PCT,     ICONT(36)
30     COMMON /QMARKQ/ MARKQ,  TMP(16), SPILL,    SAVE
31     COMMON /UPCASX/ UPFLAG, UPID(3)
32     EQUIVALENCE  (FN(1),FN4,FN6,FN32,FNAME(1)),(XXI,LLI),
33     1            (CARD(1),CARD6,CARD1(1),CARD2,CARD4),
34     2            (SPL(1),SPILL)
35     DATA         BEGN,    HELP,    STOP,    BLANK,    BK1      /
36     1            'BEGI',   'HELP',   'STOP',   '      ',   '      ' /
37     DATA         BEGN6,   HELP6,   STOP6,   BLNK8,   KEEP      /
38     1            'BEGIN ', 'HELP ', 'STOP ', '      ', 'KEEP ' /
39     DATA         END1,    END2,    END3,    N1,      ALTER     /
40     1            'ENDD ', 'END ',  'ENDA ', 'N',     'LTER ' /
41     DATA         CANC1,   CANC2,   DORK,    LLI,     LLJ      /
42     1            'CANC ', 'EL ',   'DELETE', 4H I ,  4H J      /
43     DATA         CNTRL,   MYFILE,  NEW,     OLD,    Y1      /

```

```

44      1           'CENTRAL', 'MIFYLE', 'NEW',      'OLD',      'Y'      /
45      DATA        NC/ 12,    7,    28,    7,    28,    0,    28      /
46      DATA        UNIVAC,   IBM,   CDC,   VAX,   PC,      UNIX      /
47      1           3,      2,      4,      5,      1,      7      /
48      DATA        MTYPE      /
49      1           'IBM PC', 'IBM',   'UNIVAC', 'CDC',   'VAX',
50      2           '***',   'UNIX'      /
51      DATA        TAPE03,   TPF,   FOR003,   F      /
52      1           'TAPE3.', 'FF$$.', 'FT03.', 'FF',   FF'      /
53      DATA        S1,      A1,      BBK,      LIST      /
54      1           'S',      'A',      '(BLA', 'NK)', 'LIST'      /
55      DATA        W1,      H1,      FX,      RPRN,   ICNTL      /
56      1           'O',      'H',      'X',      ')',   0      /
57      DATA        DOT,     D1,      T1      /
58      1           '.',     'D',      'T'      /
59      DATA        CNTLWD,      NCNTL,   REPL      /
60      1           'CANCEL', 'PROMPT', 'LIST',  3,      'R:'      /
61      DATA        KSMB / '+CON', '+C1N', '+C2N', '+C3N',
62      1           '+C4N', '+C5N', '+C6N', '+C7N', '+C8N'      /
63      DATA        USE / '@USE 3.,', 'FF$$. /', PUNCH / .FALSE./
64      DATA        SYM / '@SYM      ', 'PUNCH$,', '****', ' . '      /
65      DATA        QMARK / '?'      /
66      J = LLJ - LLI
67      MACH = IBM
68      IF (J .EQ. 256) MACH = PC
69      IF (J .EQ. 512) MACH = UNIVAC
70      IF (J .GT. 65535) MACH = VAX
71      IF (J .GT. 2**30) MACH = CDC
72      IF (MACH.EQ.VAX .AND. (XXI.GT.1.60E-19 .OR. XXI.LT.1.8E-19))
73      1      MACH = UNIX
74      IF (MACH.EQ.VAX .AND. (XXI.GT.3.40E-20 .OR. XXI.LT.3.39E-20))
75      1      MACH = PC
76      LU      = 2
77      LOUT     = 3
78      IN      = 5
79      NOUT     = 6
80      IPUN     = 7
81      SCREEN   = 6
82      IF (MACH .EQ. VAX) SCREEN = 5
83      LOOP     = -1
84      KOUNT    = 0
85      KONTN   = 10000000
86      IKI      = 1
87      PROM     = +1
88      STAR     = .FALSE.
89      PCT      = .FALSE.
90      NOTYET   = .FALSE.

```

```
91      MARKQ    = QMARK
92      IECHO(2)=-2
93      INSAVE   = IN
94      INFLAG   = 0
95      FFFLAG   = 0
96      UPFLAG   = .FALSE.
97      ISYS(15)= 0
98      J        = NC(MACH)
99      CARD4   = BLANK
100     CARD6   = STOP6
101     FN4     = STOP
102     FN6     = STOP6
103     LOOP4   = LOOP - 4
104     DO 5 I = 1,20
105     5      SAVE(I) = BLANK
106     IBMCDC = UNIVAC + VAX + PC
107     IF (MACH.EQ.IBM .OR. MACH.EQ.CDC) IBMCDC = 0
108     IF (MACH .NE. CDC) GO TO 20
109     OPEN (UNIT=IN  ,FILE='INPUT' ,STATUS='UNKNOWN')
110     OPEN (UNIT=NOUT,FILE='OUTPUT',STATUS='UNKNOWN')
111     OPEN (UNIT=IPUN,FILE='PUNCH' ,STATUS='UNKNOWN')
112     OPEN (UNIT=LOUT,FILE='TAPE3' ,STATUS='UNKNOWN',ERR=15)
113     GO TO 20
114     15    STOP 'SCRATCH FILE ERROR, UNIT 3'
115     20    WRITE (NOUT,25) (F,I=1,7),MTYPE(MACH),(F,I=1,4)
116     25    FORMAT (////15X,A11, /14X,A11, 3(/13X,A11), /8X,2(3X,'FFFFFF'),
117     1      2(/13X,A11),7X,A6,' VERSION / APRIL 93', /13X,A11,
118     2      /12X,A11,10X,'COSMIC, (706) 542-3265', /11X,A11,11X,
119     3      'UNIVERSITY OF GEORGIA', /10X,A11,12X,'ATHENS, GEORGIA',
120     4      ' 30602')
121     30    WRITE (NOUT,35) J
122     35    FORMAT (//,' *** ENTER A BLANK, ''HELP'', OR A FILE NAME (UP TO'
123     1,      I3,' CHARACTERS)', /5X,'IF OUTPUT IS TO BE SAVED')
124     READ (IN,40,ERR=330,END=330) FNAME
125     40    FORMAT (4A8)
126     IF (FNAME(1) .EQ. MYFILE) CALL FFHELP (*30,*600,4)
127     IF (FNAME(1) .EQ. BLNK8) FNAME(1) = MYFILE
128     IF (FN(J+1).NE.BK1 .OR. FN(J+2).NE.BK1 .OR. FN(J+3).NE.BK1)
129     1      GO TO 330
130     IF (FNAME(2) .NE. BLNK8) GO TO 50
131     CALL UPCASE (FNAME,J)
132     IF (FN6 .EQ. BEGN6) GO TO 330
133     IF (FN6 .EQ. STOP6) GO TO 600
134     IF (FN6 .EQ. HELP6) CALL FFHELP (*30,*600,1)
135     50    ODNW = OLD
136     IF (MACH .NE. VAX) GO TO 60
137     DO 52 I = 2,J
```

```
138      IF (FN(I) .EQ. DOT) GO TO 60
139      IF (FN(I) .EQ. BK1) GO TO 55
140 52  CONTINUE
141      I = J + 1
142 55  FN(I) = DOT
143      FN(I+1) = D1
144      FN(I+2) = A1
145      FN(I+3) = T1
146 60  IF (MACH .NE. IBM) GO TO 65
147      I = IQZDDN(FNAME(1))
148      ODNW = OLD
149      IF (I .EQ. 0) ODNW = NEW
150      IF (ODNW .EQ. NEW) CALL QQDCBF (FNAME(1),0,'F  ',80,80,DA)
151      CALL QQGETF (LU,FNAME(1),IERR)
152      IF (IERR .NE. 0) GO TO 130
153 65  IF (IBMCDC.EQ.0) OPEN (UNIT=LU,FILE=FNAME(1),STATUS=ODNW,ERR=130)
154      IF (IBMCDC.NE.0) OPEN (UNIT=LU,FILE=FN32      ,STATUS=ODNW,ERR=130)
155      IF (ODNW .EQ. NEW) GO TO 140
156 70  WRITE (NOUT,80)
157 80  FORMAT (/, ' FILE ALREADY EXISTS, ENTER ''STOP'', ''OVERWRITE'',',
158           1           ' OR ''APPEND'' -')
159      IF (MACH.EQ.CDC .AND. IN.EQ.5) REWIND IN
160      READ (IN,90,END=70) X1
161 90  FORMAT (A1)
162      CALL UPCASE (X1,1)
163      IF (X1 .EQ. S1) GO TO 480
164      IF (X1 .EQ. W1) GO TO 140
165      IF (X1 .NE. A1) GO TO 70
166      SAVE(2) = BBK(1)
167      SAVE(3) = BBK(2)
168 110  READ (LU,180,END=115) SAVE
169      IF (SAVE(1).EQ.BEGN .AND. SAVE(4).EQ.BLANK) FFFLAG = 1234
170      IF (SAVE(19) .EQ. KSMB(IKI)) IKI = IKI + 1
171      GO TO 110
172 115  BACKSPACE LU
173      IF (FFFLAG .EQ. 1234) WRITE (NOUT,120)
174 120  FORMAT (/, ' IF EXISTING FILE CONTAINS FREE-FIELD INPUT CARDS, ',
175           1           ' THIS PROGRAM WILL NOT', /5X,'EXPAND THEM TO FIXED-',
176           2           ' FIELD FORMATS',/)
177      WRITE (NOUT,255) SAVE
178      IF (FFFLAG.EQ.1234 .AND. INFLAG.EQ.0) CALL FFHELP (*125,*125,5)
179 125  CARD(1) = SAVE(1)
180      CARD(2) = SAVE(2)
181      GO TO 140
182 130  IF (ODNW .EQ. NEW) GO TO 310
183      ODNW = NEW
184      GO TO 60
```

```
185 140 IF (MACH .EQ. UNIVAC) J = FACSF(USE)
186  IF (FNAME(1) .EQ. MYFILE) FNAME(1) = BLNK8
187  IF (FNAME(1) .EQ. BLNK8) WRITE (NOUT,150)
188 150 FORMAT (/5X,'*** OUTPUT NOT SAVED ***',//)
189  WRITE (NOUT,160)
190 160 FORMAT (//,' *** NASTRAN FREE-FIELD INPUT PROGRAM ***',
191 1 /5X,'(THERE WILL BE NO INPUT ECHO UNTIL ''BEGIN BULK'' IS TYPED',
192 2 /5X,' TO TERMINATE JOB: ENTER ''ENDDATA'' OR ''STOP'''),'
193 3 //5X,'PLEASE BEGIN -',/)
194 170 CALL FFREAD (*320,CARD)
195  IF (CARD4.EQ.CANC1 .AND. CARD(2).EQ.CANC2) GO TO 230
196  IF (CARD4.EQ. LIST .AND. CARD(2).EQ.BLANK) GO TO 230
197  IF (CARD2.EQ. REPL .AND. CARD(4).EQ.BLANK) GO TO 350
198  IF (CARD4.EQ. STOP .AND. CARD(2).EQ.BLANK) GO TO 400
199  IF (CARD4.EQ.BLANK .AND. CARD(2).EQ.BLANK) GO TO 370
200  IF (CARD4.EQ. HELP .AND. CARD(2).EQ.BLANK)
201 1 CALL FFHELP (*280,*400,2)
202  IF (LU .EQ. 2) WRITE (LU,180) CARD
203 180 FORMAT (20A4)
204  IF (FFFLAG.NE.1234 .AND. INFLAG.EQ.4) WRITE (NOUT,190) CARD
205 190 FORMAT (1X,20A4)
206  IF (CARD4.EQ.BEGN .AND. CARD(5).EQ.BLANK) GO TO 340
207  IF (CARD4.NE.END1 .AND. CARD4.NE.END2 .AND. CARD4.NE.END3)
208 1 GO TO 170
209  IF (CARD(2).EQ.BLANK .OR. CARD(2).EQ.ALTER) GO TO 170
210  GO TO 410
211 230 IF (LU .NE. 2) GO TO 290
212  J = 1
213  IF (CARD(5).EQ.CANC1 .AND. ICONT(1).GT.0) J = ICONT(1) + 1
214  IF (CARD(5).EQ. LIST .AND. ICONT(1).GT.0) J = ICONT(1)
215  DO 240 I = 1,J
216 240 BACKSPACE LU
217  ICONT(1) = 0
218  IF (CARD(5) .EQ. LIST) GO TO 260
219  READ (LU,180) SAVE
220  J = J - 1
221  WRITE (NOUT,250) J
222 250 FORMAT (1X,I4,' PREVIOUSLY GENERATED CARDS CANCELLED ***')
223  IF (J .GT. 0) WRITE (NOUT,255) SAVE
224 255 FORMAT (/, ' *** LAST CARD WAS:', /1X,20A4)
225  GO TO 280
226 260 WRITE (NOUT,265) J
227 265 FORMAT (//,' *** PREVIOUS',I4,' CARDS WERE (COLS. 1-79) -',/)
228  DO 270 I = 1,J
229  READ (LU,180,END=285) SAVE
230 270 WRITE (NOUT,275) SAVE
231 275 FORMAT (1X,20A4)
```

```
232 280 CARD(1) = SAVE(1)
233      CARD(2) = SAVE(2)
234      GO TO 170
235 285 BACKSPACE LU
236      SAVE(1) = CARD(1)
237      SAVE(2) = CARD(2)
238      GO TO 170
239 290 WRITE (NOUT,300) CARD4,CARD(2)
240 300 FORMAT (' *** ',A4,A3,'OPTION NOT ACTIVE.  NO SAVE FILE ',
241      1      'REQUESTED ')
242      GO TO 170
243 310 WRITE (NOUT,315) FNAME
244 315 FORMAT (' *** CAN NOT ASSIGN FILE - ',4A8)
245      GO TO 20
246 320 WRITE (NOUT,325)
247 325 FORMAT (' *INPUT ERROR/FF*')
248      GO TO 170
249 330 WRITE (NOUT,335)
250 335 FORMAT (' *NOT A VALID FILE NAME*')
251      IF (MACH.EQ.CDC .AND. IN.EQ.5) REWIND IN
252      GO TO 20
253 340 FFFLAG = 1234
254      IF (INFLAG .EQ. 0) CALL FFHELP (*170,*170,5)
255      GO TO 170
256 350 I = 3
257      IF (CARD1(5) .EQ. RPRN) I = 4
258      READ (CARD1(I),355,ERR=170) II
259 355 FORMAT (I1)
260      IF (II .EQ. 0) II = 10
261      I = I + 2
262      DO 360 J = 1,8
263      SPL(J) = CARD1(I)
264 360 I = I + 1
265      SAVE(II) = SPILL
266      DO 365 I = 1,10
267 365 CARD(I) = SAVE(I)
268      BACKSPACE LU
269      WRITE (LU, 180) SAVE
270      WRITE (NOUT,190) SAVE
271      GO TO 170
272 370 IF (LU .NE. 2) GO TO 385
273      DO 375 J = 3,18
274      IF (CARD(J) .NE. BLANK) GO TO 380
275 375 CONTINUE
276      GO TO 170
277 380 BACKSPACE LU
278      READ (LU,180) SAVE
```

```
279      IF (SAVE(19) .EQ. BLANK) GO TO 390
280      WRITE (NOUT,382)
281 382  FORMAT (/, ' BAD INPUT - FIRST FIELD BLANK. TRY AGAIN ')
282      WRITE (NOUT,383)
283 383  FORMAT (13X, 'NOT ALLOW. PREVIOUS CARD HAS CONTINUATION FIELD ',
284           1           'DEFINED')
285      GO TO 170
286 385  WRITE (NOUT,382)
287      WRITE (NOUT,387)
288 387  FORMAT (13X, 'NOT ALLOW WITHOUT SAVE FILE')
289      GO TO 170
290 390  KONTN = KONTN + 1
291      IF (MOD(KONTN,10000) .EQ. 0) IKI = IKI + 1
292      CALL INT2K8 (*385,KONTN,SAVE(19))
293      SAVE(19) = KSMB(IKI)
294      CARD(1) = KSMB(IKI)
295      CARD(2) = SAVE(20)
296      WRITE (NOUT,395)
297 395  FORMAT (' ...PREVIOUS CARDS REPLACED BY:')
298      WRITE (NOUT,190) SAVE
299      WRITE (NOUT,190) CARD
300      BACKSPACE LU
301      WRITE (LU,180) SAVE
302      WRITE (LU,180) CARD
303      GO TO 170
304 400  BACKSPACE LOUT
305 410  ENDFILE LOUT
306      IF (LU .NE. 6) ENDFILE LU
307      PUNCH =.FALSE.
308      SITE = BLNK8
309 420  WRITE (NOUT,430) QMMARK
310 430  FORMAT (/, ' *** DO YOU WANT TO PUNCH OUT THE NASTRAN DECK ',A1,
311           1           ' (Y,N,X,HELP) ')
312      IF (MACH.EQ.CDC .AND. IN.EQ.5) REWIND IN
313      READ (IN,90,END=420) X1
314      CALL UPCASE (X1,1)
315      IF (X1 .EQ. H1) CALL FFHELP (*420,*480,3)
316      IF (X1 .EQ. N1) GO TO 500
317      IF (X1.NE.Y1 .AND. X1.NE.FX) GO TO 420
318      PUNCH =.TRUE.
319      LX = LOUT
320      IF (X1 .EQ. FX) LX = LU
321      IF (MACH .NE. UNIVAC) GO TO 460
322      IPUN = 1
323      WRITE (NOUT,440)
324 440  FORMAT (/, ' *** ENTER SITE-ID, OR ''CENTRAL'', WHERE CARDS ARE',
325           1           ' TO BE PUNCHED ')
```

```
326 450 READ (IN,40,ERR=450,END=450) SITE
327  IF (SITE .EQ. BLNK8) GO TO 490
328  CALL UPCASE (SITE,8)
329  IF (SITE .EQ. CNTRL) GO TO 460
330
331  SYM(3) = SITE
332  J = FACSF(SYM)
333 460 REWIND LX
334 470 READ (LX,180,END=500) CARD
335  DO 475 J = 2,NCNTL
336  IF (CARD6 .NE. CNTLWD(J)) GO TO 475
337  IF (CARD(4) .EQ. BLANK) GO TO 470
338 475 CONTINUE
339  IF ((CARD6.EQ.HELP6 .OR. CARD6.EQ.STOP6) .AND. CARD(3).EQ.BLANK)
340 1  GO TO 470
341  IF (CARD6.EQ.CNTLWD(1) .AND. CARD(4).EQ.BLANK) ICNTL = ICNTL + 1
342  WRITE (IPUN,180) CARD
343  GO TO 470
344 480 FNAME(1) = BLNK8
345 490 PUNCH    =.FALSE.
346 500 WRITE (NOUT,510)
347 510 FORMAT (//10X,'ADIEU MY FRIEND. IT IS A PLEASURE TO SERVE YOU')
348  IF (FNAME(1) .NE. BLNK8) WRITE (NOUT,520) FNAME
349 520 FORMAT (10X,'DON''T FORGET - YOUR NASTRAN DECK IS IN FILE -',
350 1  /25X,4A8, /10X,'WHICH IS ACCESSIBLE BY THE SYSTEM EDITOR')
351  IF (.NOT.PUNCH) GO TO 550
352  WRITE (NOUT,530)
353 530 FORMAT (//10X,'AND DON''T FORGET TO PICK UP YOUR PUNCHED CARDS')
354  IF (SITE .NE. BLNK8) WRITE (NOUT,535) SITE
355  IF (SITE.EQ.BLNK8 .AND. MACH.NE.VAX) WRITE (NOUT,540)
356  IF (SITE.EQ.BLNK8 .AND. MACH.EQ.VAX) WRITE (NOUT,545)
357 535 FORMAT (10X,'WHEN YOU SIGN OFF',22X,'SITE-ID: ',A8)
358 540 FORMAT (10X,'AT THE CENTRAL-SITE')
359 545 FORMAT (10X,'IN FORTRAN FILE FOR007.DAT')
360 550 IF (FNAME(1) .EQ. BLNK8) GO TO 570
361  IF (MACH .EQ. UNIVAC) FOR003 = TPF
362  IF (MACH .EQ.     CDC) FOR003 = TAPE03
363  WRITE (NOUT,555)
364 555 FORMAT (//10X,'A COPY OF YOUR ACTUAL INPUT CARDS WAS SAVED IN')
365  IF (MACH .NE. VAX) WRITE (NOUT,560) FOR003
366  IF (MACH .EQ. VAX) WRITE (NOUT,565)
367 560 FORMAT (1H+,56X,'FORTRAN FILE - ',A8)
368 565 FORMAT (10X,'FORTRAN FILE FOR003.DAT')
369 570 IF (ICNTL .NE. 0) WRITE (NOUT,575)
370 575 FORMAT (//4X,'*** WARNING - CANCELLED CARDS IN PUNCHED DECK NEED ',
371 1           'TO BE REMOVED', /19X,'OR MODIFIED BEFORE USE')
372  IF (FNAME(1) .NE. BLNK8) DORK = KEEP
```

```
373      CLOSE (UNIT=LU ,STATUS=DORK)
374      CLOSE (UNIT=LOUT ,STATUS=DORK)
375      IF (DORK.EQ.KEEP .OR. (PUNCH .AND. MACH.EQ.VAX)) WRITE (NOUT,585)
376 585  FORMAT (/4X,'*** DON''T FORGET TO DELETE YOUR FILES GENERATED BY',
377      1      ' THIS RUN ***')
378      WRITE  (NOUT,590)
379 590  FORMAT (/26X,'*** JOB DONE ***',/)
380      600  CONTINUE
381      END
```

ANEXO C – CÓDIGO C

```

1
2 #include "../param.h"
3 #include "../user.h"
4 #include "../systm.h"
5 #include "../proc.h"
6 #include "../text.h"
7 #include "../inode.h"
8 #include "../seg.h"
9 #define CLOCK1 0177546
10 #define CLOCK2 0172540
11 int icode[]
12 {
13     0104413,
14     0000014,
15     0000010,
16     0000777,
17     0000014,
18     0000000,
19     0062457,
20     0061564,
21     0064457,
22     0064556,
23     0000164,
24 };
25
26 main()
27 {
28     extern schar;
29     register i, *p;
30
31     updlock = 0;
32     i = *ka6 + USIZE;
33     UISD->r[0] = 077406;
34     for(;;) {
35         UISA->r[0] = i;
36         if(fuibyte(0) < 0)
37             break;
38         clearseg(i);
39         maxmem++;
40         mfree(coremap, 1, i);
41         i++;
42     }
43     if(cputype == 70)

```

```
44 for(i=0; i<62; i+=2) {
45     UMAP->r[i] = i<<12;
46     UMAP->r[i+1] = 0;
47 }
48 printf("mem = %l\n", maxmem*5/16);
49 maxmem = min(maxmem, MAXMEM);
50 mfree(swapmap, nswap, swplo);
51
52 UIISA->r[7] = ka6[1];
53 UISD->r[7] = 077406;
54 lks = CLOCK1;
55 if(fuiword(lks) == -1) {
56     lks = CLOCK2;
57     if(fuiword(lks) == -1)
58         panic("no clock");
59 }
60 proc[0].p_addr = *ka6;
61 proc[0].p_size = USIZE;
62 proc[0].p_stat = SRUN;
63 proc[0].p_flag =| SLOAD|SSYS;
64 u.u_procp = &proc[0];
65 *lks = 0115;
66 cinit();
67 binit();
68 iinit();
69 rootdir = igit(rootdev, ROOTINO);
70 rootdir->i_flag = & ~ILOCK;
71 u.u_cdir = igit(rootdev, ROOTINO);
72 u.u_cdir->i_flag = & ~ILOCK;
73
74 if(newproc()) {
75     expand(USIZE+1);
76     estabur(0, 1, 0, 0);
77     copyout(icode, 0, sizeof icode);
78     return;
79 }
80 sched();
81 }
82
83 sureg()
84 {
85     register *up, *rp, a;
86
87     a = u.u_procp->p_addr;
88     up = &u.u_uisa[16];
89     rp = &UIISA->r[16];
90     if(cputype == 40) {
```

```
91     up == 8;
92     rp == 8;
93 }
94 while(rp > &UISA->r[0])
95     *--rp = *--up + a;
96 if((up=u.u_procp->p_textp) != NULL)
97     a == up->x_caddr;
98 up = &u.u_uisd[16];
99 rp = &UISD->r[16];
100 if(cputype == 40) {
101     up == 8;
102     rp == 8;
103 }
104 while(rp > &UISD->r[0]) {
105     *--rp = *--up;
106     if((*rp & W0) == 0)
107         rp[(UISA-UISD)/2] == a;
108 }
109 }
110
111 estabur(nt, nd, ns, sep)
112 {
113     register a, *ap, *dp;
114
115     if(sep) {
116         if(cputype == 40)
117             goto err;
118         if(nseg(nt) > 8 || nseg(nd)+nseg(ns) > 8)
119             goto err;
120     } else
121         if(nseg(nt)+nseg(nd)+nseg(ns) > 8)
122             goto err;
123     if(nt+nd+ns+USIZE > maxmem)
124         goto err;
125     a = 0;
126     ap = &u.u_uisa[0];
127     dp = &u.u_uisd[0];
128     while(nt >= 128) {
129         *dp++ = (127<<8) | R0;
130         *ap++ = a;
131         a += 128;
132         nt -= 128;
133     }
134     if(nt) {
135         *dp++ = ((nt-1)<<8) | R0;
136         *ap++ = a;
137     }
```

```
138 if(sep)
139 while(ap < &u.u_uisa[8]) {
140     *ap++ = 0;
141     *dp++ = 0;
142 }
143 a = USIZE;
144 while(nd >= 128) {
145     *dp++ = (127<<8) | RW;
146     *ap++ = a;
147     a += 128;
148     nd -= 128;
149 }
150 if(nd) {
151     *dp++ = ((nd-1)<<8) | RW;
152     *ap++ = a;
153     a += nd;
154 }
155 while(ap < &u.u_uisa[8]) {
156     *dp++ = 0;
157     *ap++ = 0;
158 }
159 if(sep)
160 while(ap < &u.u_uisa[16]) {
161     *dp++ = 0;
162     *ap++ = 0;
163 }
164 a += ns;
165 while(ns >= 128) {
166     a -= 128;
167     ns -= 128;
168     *--dp = (127<<8) | RW;
169     *--ap = a;
170 }
171 if(ns) {
172     *--dp = ((128-ns)<<8) | RW | ED;
173     *--ap = a-128;
174 }
175 if(!sep) {
176     ap = &u.u_uisa[0];
177     dp = &u.u_uisa[8];
178     while(ap < &u.u_uisa[8])
179         *dp++ = *ap++;
180     ap = &u.u_uisd[0];
181     dp = &u.u_uisd[8];
182     while(ap < &u.u_uisd[8])
183         *dp++ = *ap++;
184 }
```

```
185     sureg();
186     return(0);
187
188 err:
189     u.u_error = ENOMEM;
190     return(-1);
191 }
192
193 nseg(n)
194 {
195     return((n+127)>>7);
196 }
```

ANEXO D – CÓDIGO JAVA

```
1 package org.nbgit;
2
3 import java.beans.PropertyChangeListener;
4 import java.beans.PropertyChangeSupport;
5 import java.io.File;
6 import java.io.FileInputStream;
7 import java.io.FileOutputStream;
8 import java.io.IOException;
9 import java.util.HashMap;
10 import java.util.Map;
11 import java.util.logging.Level;
12 import java.util.logging.Logger;
13 import org.nbgit.util.GitUtils;
14 import org.netbeans.modules.versioning.spi.VersioningSupport;
15 import org.openide.filesystems.FileObject;
16 import org.openide.filesystems.FileUtil;
17 import org.openide.util.RequestProcessor;
18 import org.eclipse.jgit.lib.Constants;
19 import org.eclipse.jgit.lib.Repository;
20
21 public class Git {
22
23     public static final String GIT_OUTPUT_TAB_TITLE = org.openide.util.
24         NbBundle.getMessage(Git.class, "CTL_Git_DisplayName");
25     public static final String PROP_ANNOTATIONS_CHANGED =
26         "annotationsChanged";
27     public static final String PROP_VERSIONED_FILES_CHANGED =
28         "versionedFilesChanged";
29     public static final String PROP_CHANGESET_CHANGED = "changesetChanged";
30     public static final Logger LOG = Logger.getLogger("org.nbgit");
31     private static final int STATUS_DIFFABLE =
32         StatusInfo.STATUS_VERSIONED_UPTODATE |
33         StatusInfo.STATUS_VERSIONED_MODIFIEDLOCALLY |
34         StatusInfo.STATUS_VERSIONED_MODIFIEDINREPOSITORY |
35         StatusInfo.STATUS_VERSIONED_CONFLICT |
36         StatusInfo.STATUS_VERSIONED_MERGE |
37         StatusInfo.STATUS_VERSIONED_REMOVEDINREPOSITORY |
38         StatusInfo.STATUS_VERSIONED_MODIFIEDINREPOSITORY |
39         StatusInfo.STATUS_VERSIONED_MODIFIEDINREPOSITORY;
40     private final PropertyChangeSupport support = new PropertyChangeSupport(
41         this);
42     private final StatusCache statusCache = new StatusCache(this);
43     private HashMap<String, RequestProcessor> processorsToUrl;
```

```
40     private final Map<File, Repository> repos = new HashMap<File, Repository>();
41     private static Git instance;
42
43     private Git() {
44     }
45
46     public static synchronized Git getInstance() {
47         if (instance == null) {
48             instance = new Git();
49         }
50         return instance;
51     }
52
53     public Repository getRepository(File root) {
54         Repository repo = repos.get(root);
55
56         if (repo == null) {
57             final File gitDir = new File(root, Constants.DOT_GIT);
58             try {
59                 repo = new Repository(gitDir);
60                 repos.put(root, repo);
61             } catch (IOException ex) {
62             }
63         }
64
65         return repo;
66     }
67
68     public StatusCache getStatusCache() {
69         return statusCache;
70     }
71
72     public boolean isAdministrative(File file) {
73         String name = file.getName();
74         return isAdministrative(name) && file.isDirectory();
75     }
76
77     public boolean isAdministrative(String fileName) {
78         return fileName.equals(".git");
79     }
80
81     public boolean isManaged(File file) {
82         return VersioningSupport.getOwner(file) instanceof GitVCS && !GitUtils
83             .isPartOfGitMetadata(file);
84     }
```

```
85     public File getTopmostManagedParent(File file) {
86         if (GitUtils.isPartOfGitMetadata(file)) {
87             for (; file != null; file = file.getParentFile()) {
88                 if (isAdministrative(file)) {
89                     file = file.getParentFile();
90                     break;
91                 }
92             }
93         }
94         File topmost = null;
95         for (; file != null; file = file.getParentFile()) {
96             if (org.netbeans.modules.versioning.util.Utils.isScanForbidden(file)
97             ) {
98                 break;
99             }
100             if (new File(file, ".git").canWrite()) {
101                 topmost = file;
102                 break;
103             }
104         }
105     }
106
107     public String getMimeType(File file) {
108         FileObject fo = FileUtil.toFileObject(file);
109         String foMime;
110         if (fo == null) {
111             foMime = "content/unknown";
112         } else {
113             foMime = fo.getMIMEType();
114             if ("content/unknown".equals(foMime))
115             {
116                 foMime = "text/plain";
117             }
118         }
119         if ((statusCache.getStatus(file).getStatus() & StatusInfo.
120             STATUS_VERSIONED) == 0) {
121             return GitUtils.isFileContentBinary(file) ? "application/octet-
122             stream" : foMime;
123         } else {
124             return foMime;
125         }
126     }
127
128     public void versionedFilesChanged() {
129         support.firePropertyChange(PROP_VERSIONED_FILES_CHANGED, null, null);
130     }
131
132 }
```

```
129
130     public void refreshAllAnnotations() {
131         support.firePropertyChange(PROP_ANNOTATIONS_CHANGED, null, null);
132     }
133
134     public void changesetChanged(File repository) {
135         support.firePropertyChange(PROP_CHANGESET_CHANGED, repository, null);
136     }
137
138     public void addPropertyChangeListener(PropertyChangeListener listener) {
139         support.addPropertyChangeListener(listener);
140     }
141
142     public void removePropertyChangeListener(PropertyChangeListener listener)
143     ) {
144         support.removePropertyChangeListener(listener);
145     }
146
147     public void getOriginalFile(File workingCopy, File originalFile) {
148         StatusInfo info = statusCache.getStatus(workingCopy);
149         LOG.log(Level.FINE, "getOriginalFile: {0} {1}", new Object[]{workingCopy, info});
150         if ((info.getStatus() & STATUS_DIFFABLE) == 0) {
151             return;
152         }
153         try {
154             File original = GitUtils.getFileRevision(workingCopy, GitRepository.REVISION_BASE);
155             if (original == null) {
156                 return;
157             }
158             org.netbeans.modules.versioning.util.Utils.copyStreamsCloseAll(new
159             FileOutputStream(originalFile), new FileInputStream(original));
160             original.delete();
161         } catch (IOException e) {
162             Logger.getLogger(Git.class.getName()).log(Level.INFO, "Unable to get
163             original file", e);
164         }
165     }
166
167     public RequestProcessor getRequestProcessor() {
168         return getRequestProcessor((String) null);
169     }
170
171     public RequestProcessor getRequestProcessor(File file) {
172         return getRequestProcessor(file.getAbsolutePath());
```

```
171     }
172
173     public RequestProcessor getRequestProcessor(String url) {
174         if (processorsToUrl == null) {
175             processorsToUrl = new HashMap<String, RequestProcessor>();
176         }
177         String key;
178         if (url != null) {
179             key = url;
180         } else {
181             key = "ANY_URL";
182         }
183         RequestProcessor rp = processorsToUrl.get(key);
184         if (rp == null) {
185             rp = new RequestProcessor("Git - " + key, 1, true);
186             processorsToUrl.put(key, rp);
187         }
188         return rp;
189     }
190
191     public void clearRequestProcessor(String url) {
192         if (processorsToUrl != null & url != null) {
193             processorsToUrl.remove(url);
194         }
195     }
196 }
```